

# Fizyka Materii Skondensowanej


Jacek.Szczytko@fuw.edu.pl

<http://www.fuw.edu.pl/~szczytko/NT>

**n**inżynieria  
nanostruktur

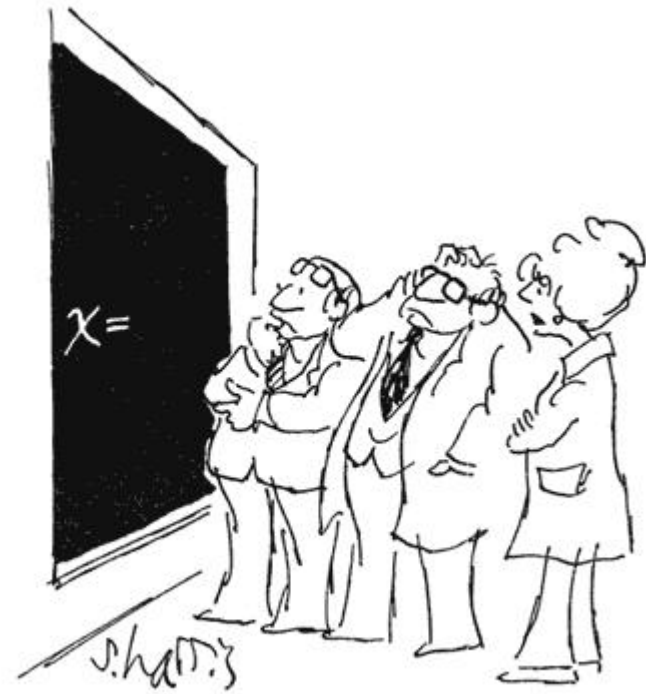


# GryPlan

- 4.10 Mechanika kwantowa. Stany. Studnia kwantowa, Stany atomu wodoru. Symetrie stanów.
  - 11.10 Pole magnetyczne, sprzężenie spin orbita, J, L, S
  - 18.10 Dipolowe przejścia optyczne. Reguły wyboru, czas życia
  - 25.10 Lasery – współczynniki Einsteina
  - 8.11 Optyka – powtórzenie, klasyczny współczynnik załamania
  - 14.11 PONIEDZIAŁEK RANO – KOLOKWIUM, sala Cyklotron A, godz. 9:00-12:00**
  - 15.11 Wiązania chemiczne i cząsteczki, hybrydyzacje
  - 22.11 Przejścia optyczne w cząsteczkach, widma oscylacyjno-rotacyjne
  - 29.11 Ciało stałe, kryształy, krystalografia, sieci Bravais
  - 6.12 Pasma, tw. Blocha, masa efektywna, przybliżenie kp
  - 13.12 KOLOKWIUM**
  - 20.12 Elektrony i dziury cz. 1
  - 3.01 Elektrony i dziury cz. 2 Nanotechnologia
  - 10.01 Urządzenia półprzewodnikowe. Diody, tranzystory, komputery
  - 17.01 Fizyka subatomowa
- 

# Optyka - powtórzenie

- Propagacja fali elektromagnetycznej.
- Natężenie fali.
- Oddziaływanie fali e-m z ośrodkiem,
- Odbicie plazmowe,
- klasyczny współczynnik załamania,
- kształt linii widmowych, poszerzenia.



# Optyka - powtórzenie

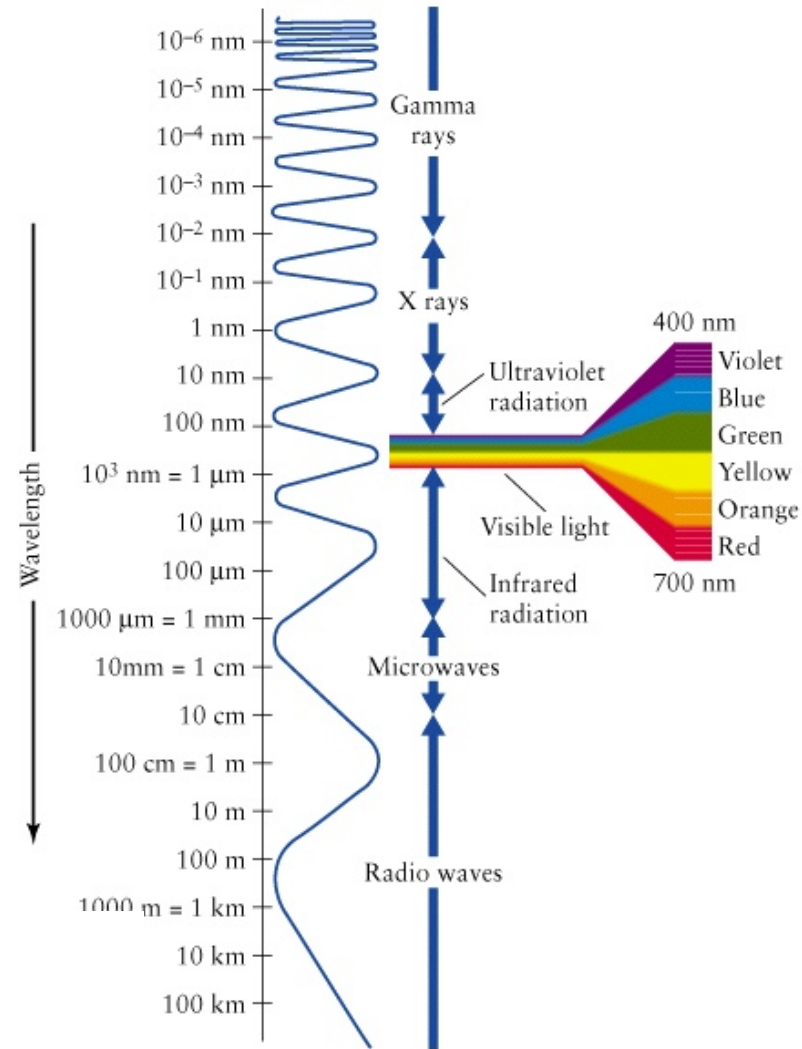
Równania Maxwella:

$$\varepsilon_0 \operatorname{div} \vec{E} = \rho$$

$$\operatorname{rot} \vec{E} = -\frac{\partial \vec{B}}{\partial t}$$

$$\operatorname{rot} \vec{B} = \mu_0 \varepsilon_0 \frac{\partial \vec{E}}{\partial t} + \mu_0 \vec{j}$$

$$\operatorname{div} \vec{B} = 0$$



# Optyka - powtórzenie

Równanie falowe:

$$\operatorname{rot}(\operatorname{rot}\vec{E}) = -\frac{\partial(\operatorname{rot}\vec{B})}{\partial t} = -\mu_0\varepsilon_0 \frac{\partial^2\vec{E}}{\partial t^2} - \mu_0 \frac{\partial}{\partial t} \vec{j}$$

$$\Delta\vec{E} = \mu_0\varepsilon_0 \frac{\partial^2\vec{E}}{\partial t^2} \qquad \Delta\vec{B} = \mu_0\varepsilon_0 \frac{\partial^2\vec{B}}{\partial t^2}$$

$$c = 1/\sqrt{\mu_0\varepsilon_0}$$

# Optyka - powtórzenie

## Równanie falowe:

**Natężenie fali** – czyli moc przenoszona na jednostkę powierzchni wyraża się przez wektor Poytinga [W/m<sup>2</sup>]:

$$\vec{S} = \frac{1}{2\mu_0} \vec{E}_0 \times \vec{B}_0$$

**DC Power flow in a concentric cable**

**Independent E and B fields**

[http://en.wikipedia.org/wiki/Poynting\\_vector](http://en.wikipedia.org/wiki/Poynting_vector)

# Optyka - powtórzenie

## Fala elektromagnetyczna w próżni

Równania Maxwella:

$$\nabla \times \vec{E} = \text{rot} \vec{E} = -\frac{\partial \vec{B}}{\partial t}$$
$$\nabla \times \vec{B} = \text{rot} \vec{B} = \varepsilon_0 \mu_0 \frac{\partial \vec{E}}{\partial t}$$

Równania falowe:

$$\Delta \vec{E} = \mu_0 \varepsilon_0 \frac{\partial^2 \vec{E}}{\partial t^2}$$
$$\Delta \vec{B} = \mu_0 \varepsilon_0 \frac{\partial^2 \vec{B}}{\partial t^2}$$

Prędkość fali elektromagnetycznej:

$$c = \frac{1}{\sqrt{\mu_0 \varepsilon_0}} \quad c \approx 3 \cdot 10^8 \frac{\text{m}}{\text{s}}$$

Współczynnik załamania:

$$n = 1$$

$$k = \frac{\omega}{c}$$

## Fala elektromagnetyczna w dielektryku

Równania Maxwella:

$$\nabla \times \vec{E} = \text{rot} \vec{E} = -\frac{\partial \vec{B}}{\partial t}$$
$$\nabla \times \vec{B} = \text{rot} \vec{B} = \varepsilon_0 \mu_0 \mu \varepsilon \frac{\partial \vec{E}}{\partial t}$$

Równania falowe:

$$\Delta \vec{E} = \mu_0 \varepsilon_0 \mu \varepsilon \frac{\partial^2 \vec{E}}{\partial t^2}$$
$$\Delta \vec{B} = \mu_0 \varepsilon_0 \mu \varepsilon \frac{\partial^2 \vec{B}}{\partial t^2}$$

Prędkość fali elektromagnetycznej:

$$v = \frac{1}{\sqrt{\mu_0 \varepsilon_0 \mu \varepsilon}} = \frac{c}{n}$$

Współczynnik załamania:

$$n = \frac{c}{v} = \sqrt{\mu \varepsilon}$$

$$k = \frac{n \omega}{c}$$

# Optyka - powtórzenie

Fala elektromagnetyczna w próżni	Fala elektromagnetyczna w dielektryku
<p>Równania Maxwella:</p> $\nabla \times \vec{E} = \text{rot} \vec{E} = -\frac{\partial \vec{B}}{\partial t}$ $\nabla \times \vec{B} = \text{rot} \vec{B} = \varepsilon_0 \mu_0 \frac{\partial \vec{E}}{\partial t}$	<p>Równania Maxwella:</p> $\nabla \times \vec{E} = \text{rot} \vec{E} = -\frac{\partial \vec{B}}{\partial t}$ $\nabla \times \vec{B} = \text{rot} \vec{B} = \varepsilon_0 \mu_0 \mu \varepsilon \frac{\partial \vec{E}}{\partial t}$
<p><b>Ale w jaki sposób ośrodek oddziałuje z falą elektromagnetyczną? Czy <math>\varepsilon</math> (a więc <math>n</math>) jest stałe?</b></p>	
<p>Równanie:</p> $\Delta B = \mu_0 \varepsilon_0 \frac{\partial^2 E}{\partial t^2}$	<p>Równanie:</p> $\Delta B = \mu_0 \varepsilon_0 \mu \varepsilon \frac{\partial^2 E}{\partial t^2}$
<p>Prędkość fali elektromagnetycznej:</p> $c = \frac{1}{\sqrt{\mu_0 \varepsilon_0}} \quad c \approx 3 \cdot 10^8 \frac{\text{m}}{\text{s}}$	<p>Prędkość fali elektromagnetycznej:</p> $v = \frac{1}{\sqrt{\mu_0 \varepsilon_0 \mu \varepsilon}} = \frac{c}{n}$
<p>Współczynnik załamania:</p> $n = 1$ $k = \frac{\omega}{c}$	<p>Współczynnik załamania:</p> $n = \frac{c}{v} = \sqrt{\mu \varepsilon}$ $k = \frac{n \omega}{c}$



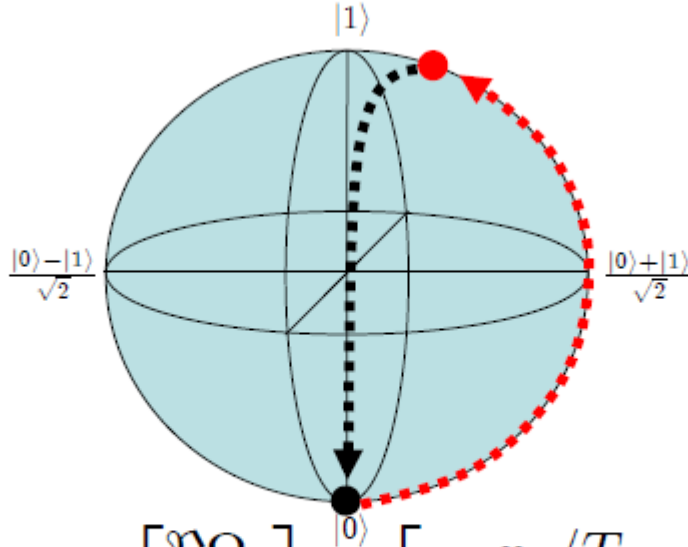
# Klasyczny model współczynnika załamania



# Klasyczny model współczynnika załamania

Wojtek Wasilewski

## Równania Blocha z relaksacją



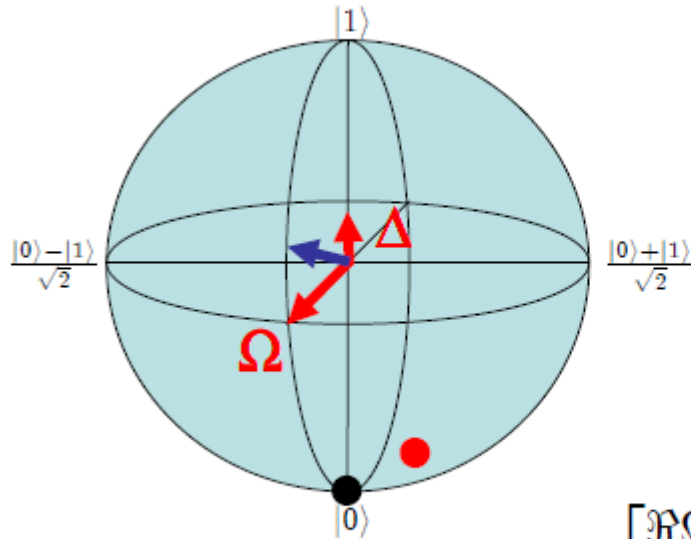
$$\frac{d\vec{x}_r}{dt} = \vec{x}_r \times \begin{bmatrix} \Re\Omega_r \\ \Im\Omega_r \\ \Delta \end{bmatrix} - \begin{bmatrix} x_1/T_2 \\ x_2/T_2 \\ (x_3 + 1)/T_1 \end{bmatrix}$$

# Klasyczny model współczynnika załamania

Równania Blocha z relaksacją

Wojtek Wasilewski

Stan stacjonarny



$\frac{d\vec{x}}{dt}$

$$0 = \vec{x}_r \times \begin{bmatrix} \Re\Omega_r \\ \Im\Omega_r \\ \Delta \end{bmatrix} - \begin{bmatrix} x_1/T_2 \\ x_2/T_2 \\ (x_3 + 1)/T_1 \end{bmatrix}$$

# Klasyczny model współczynnika załamania

Równania Blocha z relaksacją

Wojtek Wasilewski

Stan stacjonarny

Stan stacjonarny

$$0 = \vec{x}_r \times \begin{bmatrix} \Re\Omega_r \\ \Im\Omega_r \\ \Delta \end{bmatrix} - \begin{bmatrix} x_1/T_2 \\ x_2/T_2 \\ (x_3 + 1)/T_1 \end{bmatrix}$$

$$\vec{x}_r = \frac{1}{1/T_2^2 + \Delta^2 + \Omega T_1/T_2} \begin{bmatrix} \Omega\Delta \\ \Omega/T_2 \\ -(1/T_2^2 + \Delta^2) \end{bmatrix}$$

dla słabych pól  $\vec{x}_r \simeq \frac{[\Omega\Delta, \Omega/T_2]}{1/T_2^2 + \Delta^2}$

$\frac{|0\rangle - |1\rangle}{\sqrt{2}}$



$\frac{d\vec{x}}{dt}$

# Klasyczny model współczynnika załamania

Wojtek Wasilewski

Równania Blocha z relaksacją

Stan stacjonarny

Stan stacjonarny

Polaryzacja atomowa

$$\langle d \rangle = \langle \tilde{\sigma}_x \rangle \cos(\omega t) + \langle \tilde{\sigma}_y \rangle \sin(\omega t)$$

↑  
Część dyspersyjna

↑  
Część absorpcyjna

$$\vec{x}_r \simeq \frac{[\Omega\Delta, \Omega/T_2]}{1/T_2^2 + \Delta^2}$$

Polaryzacja  $n(d) = \chi\epsilon_0 E$

$$\left( \nabla^2 - \frac{1}{c^2} \frac{\partial^2}{\partial t^2} \right) E = \frac{1}{c^2 \epsilon_0} \frac{\partial^2}{\partial t^2} P$$

$$E = \Re\{E_0 e^{-i\omega t + ik \cdot r}\} \quad k = \sqrt{1 + \chi} \frac{\omega}{c}$$

$$\frac{|0\rangle - |1\rangle}{\sqrt{2}}$$



$$\frac{d\vec{x}}{dt}$$

# Klasyczny model współczynnika załamania

Wojtek Wasilewski

Równania Blocha z relaksacją

Stan stacjonarny

Stan stacjonarny

Polaryzacja atomowa

Profil Lorentza

$$\frac{|0\rangle - |1\rangle}{\sqrt{2}}$$

$$\frac{d\bar{x}}{dt}$$

$$\langle d \rangle = \langle d \rangle$$

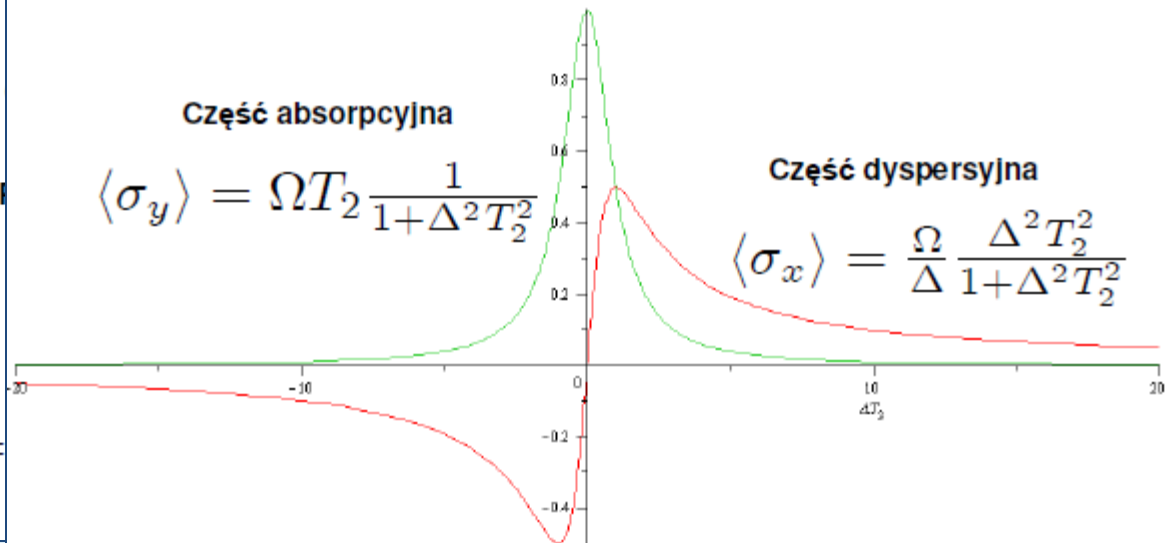
Część

Część absorpcyjna

$$\langle \sigma_y \rangle = \Omega T_2 \frac{1}{1 + \Delta^2 T_2^2}$$

Część dyspersyjna

$$\langle \sigma_x \rangle = \frac{\Omega}{\Delta} \frac{\Delta^2 T_2^2}{1 + \Delta^2 T_2^2}$$



$$E =$$

# Klasyczny model współczynnika załamania

## Zjawisko Mossbauera



The Nobel Prize in Physics 1961

“Explain it! The most important thing is, that you are able to explain it! You will have exams, there you have to explain it. Eventually, you pass them, you get your diploma and you think, that's it! – No, the whole life is an exam, you'll have to write applications, you'll have to discuss with peers... So learn to explain it! You can train this by explaining to another student, a colleague. If they are not available, explain it to your mother – or to your cat!”

Za Wikipedią

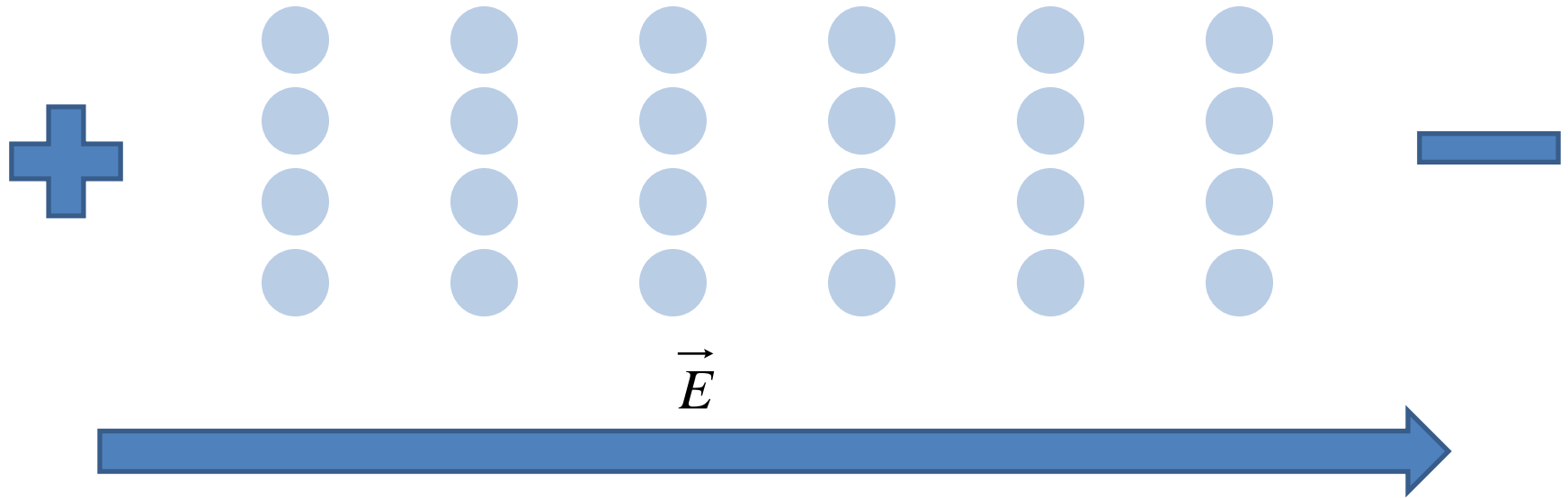


Rudolf Ludwig Mössbauer  
ur. 1929

# Klasyczny model współczynnika załamania

Fala w ośrodku wypełnionym oscylatorami (model Lorentza):

Dielektryk:

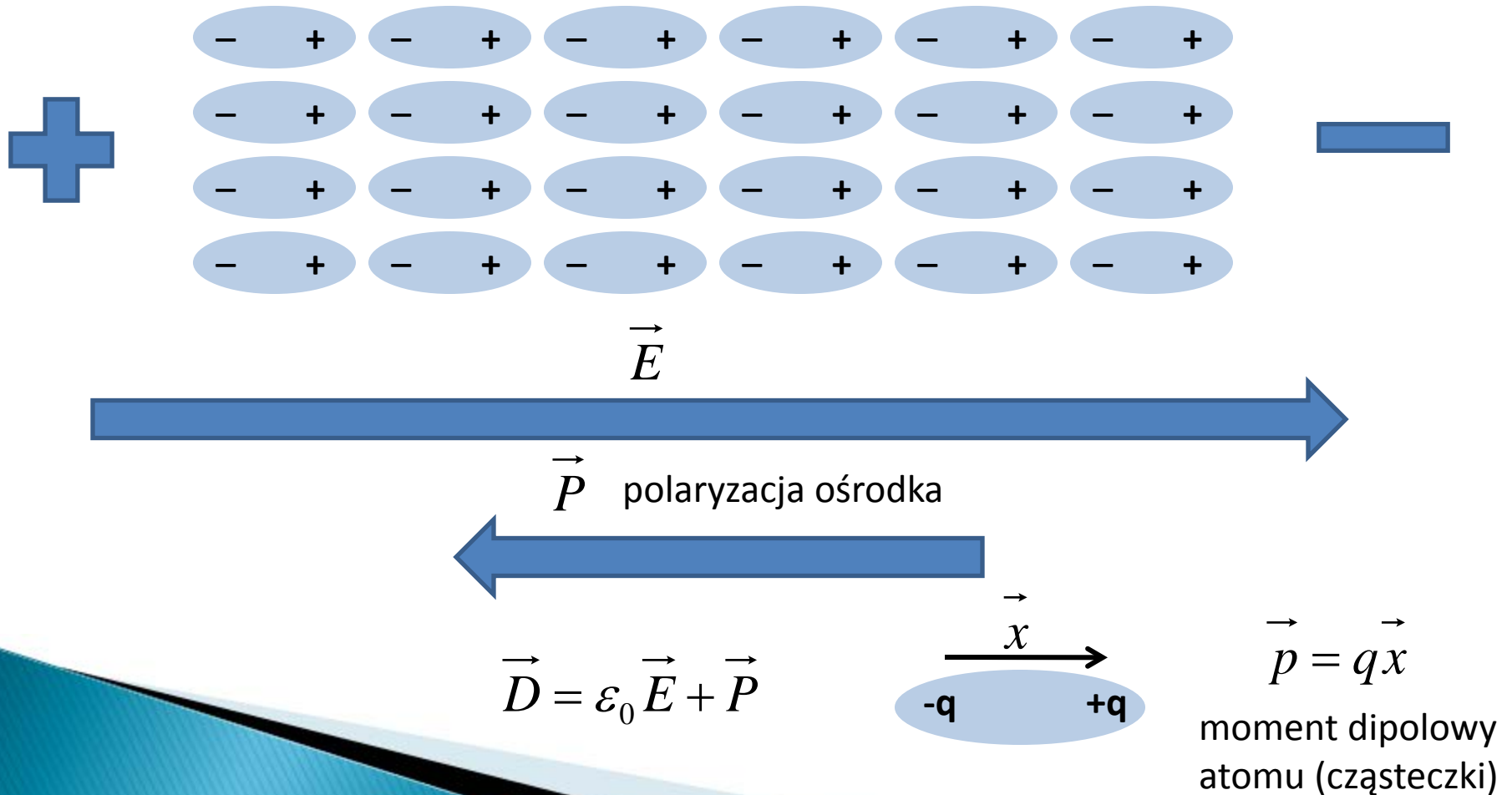




# Klasyczny model współczynnika załamania

Fala w ośrodku wypełnionym oscylatorami (model Lorentza):

Dielektryk:

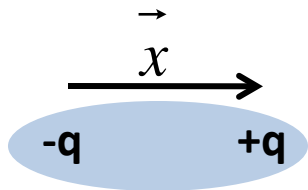


# Klasyczny model współczynnika załamania

## Fala w ośrodku wypełnionym oscylatorami (model Lorentza):

### Rozważamy

- przestrzeń wypełnioną oscylatorami o częstotliwości rezonansowej  $\omega_0$  i współczynniku tłumienia  $\gamma$
- oscylatory mają masę  $m$ , ładunek  $q$
- są poruszane przez oscylujące pole elektryczne  $E$ .



$$\vec{p} = q\vec{x} \quad \text{moment dipolowy atomu (cząsteczki)}$$

$$\text{polaryzacja ośrodka} \quad \vec{P} = N\vec{p} = N(\varepsilon_0\alpha\vec{E}) = \varepsilon_0\chi\vec{E}$$

polaryzowalność

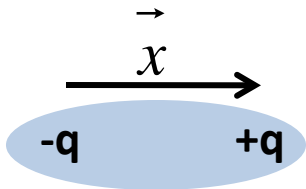
podatność dielektryczna

# Klasyczny model współczynnika załamania

## Fala w ośrodku wypełnionym oscylatorami (model Lorentza):

### Rozważamy

- przestrzeń wypełnioną oscylatorami o częstotliwości rezonansowej  $\omega_0$  i współczynniku tłumienia  $\gamma$
- oscylatory mają masę  $m$ , ładunek  $q$
- są poruszane przez oscylujące pole elektryczne  $E$ .



stąd 
$$\vec{D} = \epsilon_0 \vec{E} + \vec{P} = \epsilon_0 (1 + \chi) \vec{E} = \epsilon_0 \epsilon \vec{E}$$

Tego szukamy:

$$n^2 = \epsilon = 1 + \chi$$

$$\vec{P}(t) = N \vec{p}(t) = Nq \vec{x}(t) = \epsilon_0 \chi \vec{E}(t)$$

Musimy wyznaczyć  $\vec{x}(t)$  !

# Klasyczny model współczynnika załamania

## Fala w ośrodku wypełnionym oscylatorami (model Lorentza):

Rozważamy

- przestrzeń wypełnioną oscylatorami o częstotliwości rezonansowej  $\omega_0$  i współczynniku tłumienia  $\gamma$
- oscylatory mają masę  $m$ , ładunek  $q$
- są poruszane przez oscylujące pole elektryczne  $E$ .

$$\frac{d^2 \vec{x}}{dt^2} + \gamma \frac{d\vec{x}}{dt} + \omega_0^2 \vec{x} = \frac{q \vec{E} e^{i\omega t}}{m}$$

tłumienie

siła sprężysta

siła wymuszająca

Rozwiązanie dla stanu ustalonego:

$$\vec{x} = \vec{x}_0 e^{i\omega t}$$

# Klasyczny model współczynnika załamania

## Fala w ośrodku wypełnionym oscylatorami (model Lorentza):

Rozwiązanie dla stanu ustalonego:

$$\vec{x} = \vec{x}_0 \exp(i\omega t)$$

Podstawiamy:

$$\left(-\omega^2 + i\gamma\omega + \omega_0^2\right)\vec{x}_0 = \frac{q\vec{E}}{m}$$

Amplituda:

$$\vec{x}_0 = \frac{q\vec{E}}{m(\omega_0^2 - \omega^2 + i\gamma\omega)}$$

# Klasyczny model współczynnika załamania

## Fala w ośrodku wypełnionym oscylatorami (model Lorentza):

Dostajemy:

$$n^2 = \varepsilon = \varepsilon_L + \frac{Nqx}{\varepsilon_0 E} = \varepsilon_L + \frac{Nq^2}{\varepsilon_0 m (\omega_0^2 - \omega^2 + i\gamma\omega)}$$

$$n = n' - i\kappa$$

$$\kappa = \frac{Nq^2}{2\varepsilon_0 m} \frac{\gamma\omega}{(\omega_0^2 - \omega^2)^2 + \gamma^2\omega^2}$$

$\varepsilon_L$

Dla jednej częstości oscylatora  $\omega_0$   $\varepsilon_L=1$ , ale dla wielu jest to w przybliżeniu stała suma wkładów od pozostałych.

$$n' = \varepsilon_L + \frac{Nq^2}{2\varepsilon_0 m} \frac{\omega_0^2 - \omega^2}{(\omega_0^2 - \omega^2)^2 + \gamma^2\omega^2}$$

$$\vec{E} = \vec{E}_0 \exp[i(\omega t - k_n z)] = \vec{E}_0 \exp[i(\omega t - kn' z + ik\kappa z)] =$$

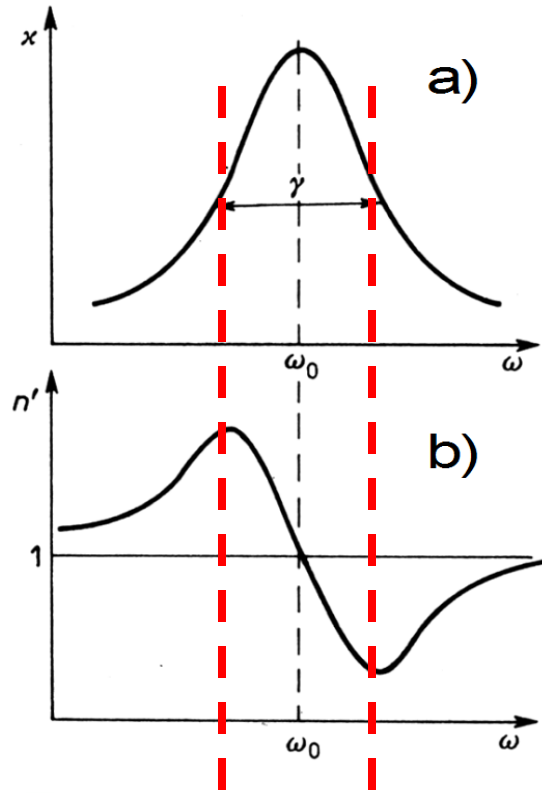
$$= \vec{E}_0 \exp\left(-\frac{2\pi}{\lambda} \kappa z\right) \exp[i(\omega t - kn' z)]$$

# Klasyczny model współczynnika załamania

## Fala w ośrodku wypełnionym oscylatorami (model Lorentza):

Dostajemy:

związki dyspersyjne Kramersa - Kroniga



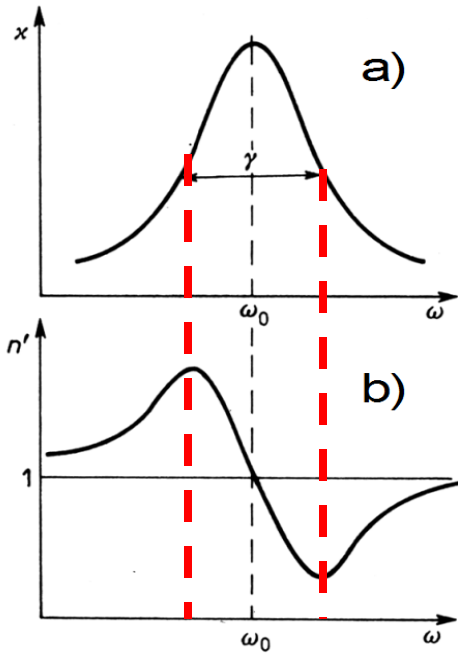
Obszar dyspersji anomalnej

$$K = \frac{Nq^2}{2\varepsilon_0 m} \frac{\gamma\omega}{(\omega_0^2 - \omega^2)^2 + \gamma^2\omega^2}$$

$$n' = 1 + \frac{Nq^2}{2\varepsilon_0 m} \frac{\omega_0^2 - \omega^2}{(\omega_0^2 - \omega^2)^2 + \gamma^2\omega^2}$$

# Klasyczny model współczynnika załamania

## Fala w ośrodku wypełnionym oscylatorami:



- **Część rzeczywista** opisuje zmianę wektora falowego czynnika oscylującego fali elektromagnetycznej, - **rzeczywisty współczynnik załamania ośrodka**.
- Jeżeli przez ośrodek fala propaguje się bez absorpcji, to  $n=n'$ .
- **Część urojona** współczynnika załamania  charakteryzuje **absorpcję ośrodka**.
- Wielkość  $\frac{dn'}{d\omega}$  nazywana jest **dyspersją** ośrodka.

Poza rezonansem jest ona funkcją dodatnią - **dyspersja normalna**.

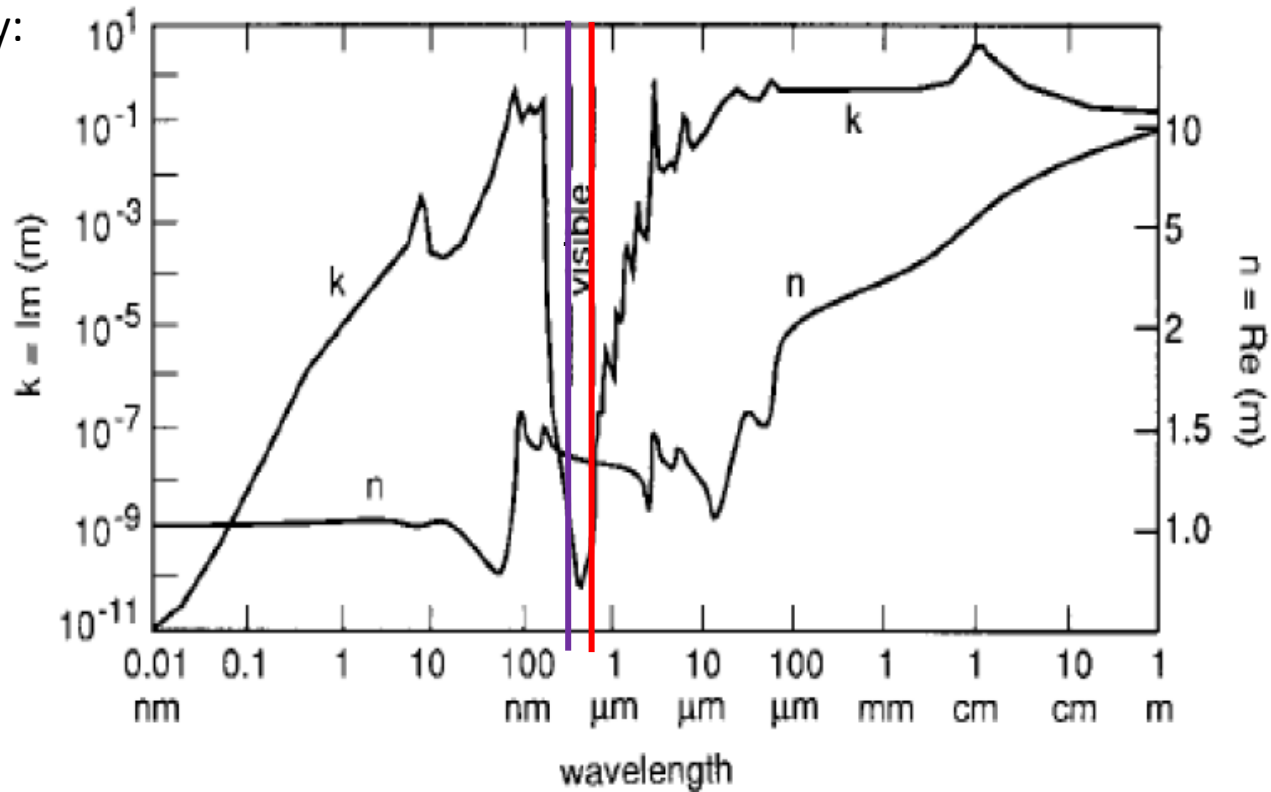
- Dla częstości bliskich częstości rezonansowej dyspersja ma znak ujemny - **dyspersja anomalna**.



# Klasyczny model współczynnika załamania

## Fala w ośrodku wypełnionym oscylatorami:

Przykład wody:

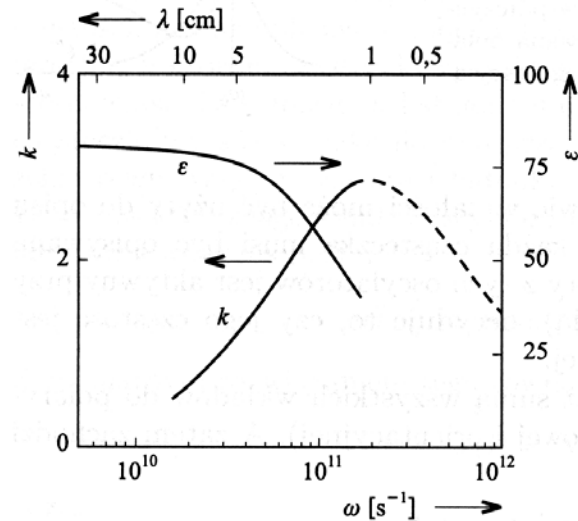
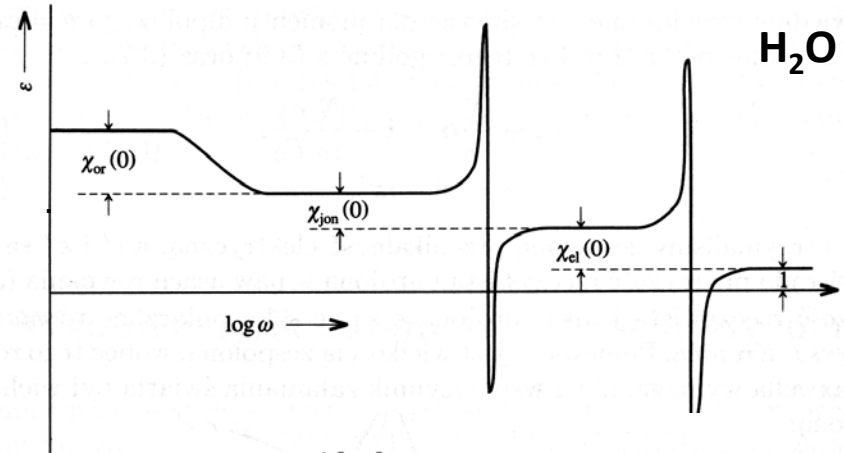
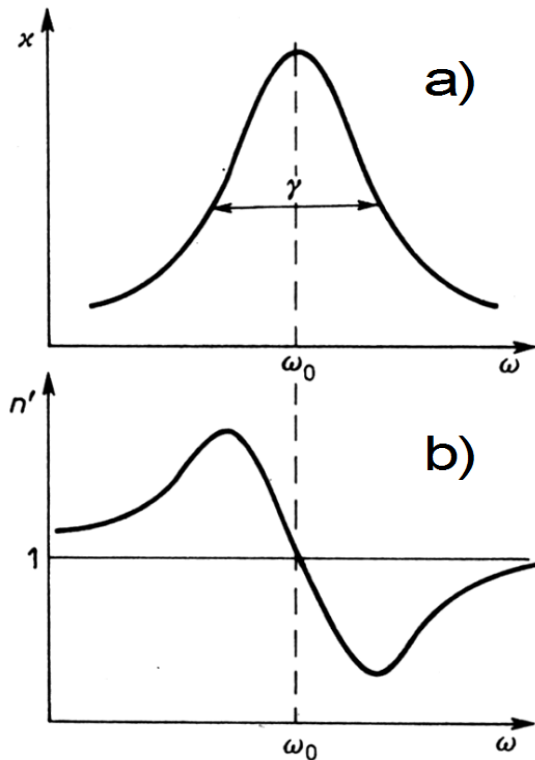


V. M. Zolotarev and A. V. Demin, "Optical Constants of Water over a Broad Range of Wavelengths, 0.1 Å–1 m," *Opt. Spectrosc. (U.S.S.R.)* 43(2):157 (Aug. 1977).

# Klasyczny model współczynnika załamania

## Fala w ośrodku wypełnionym oscylatorami:

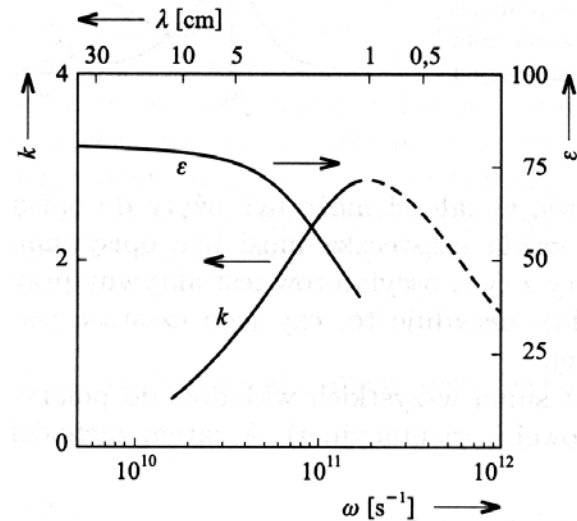
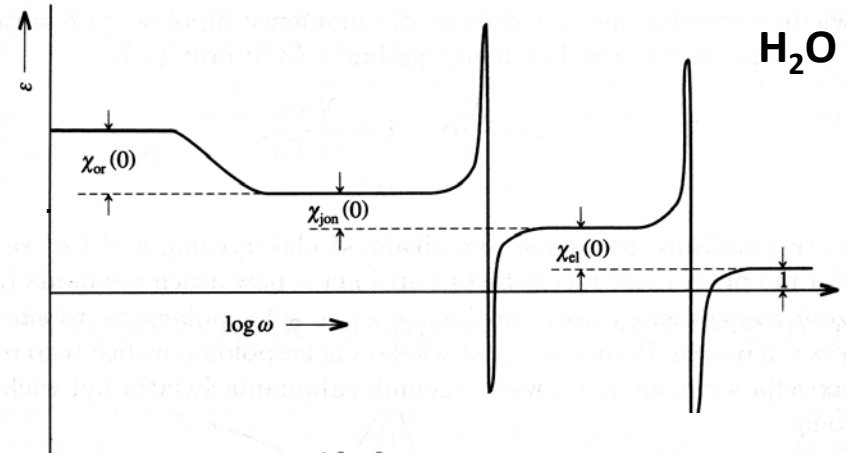
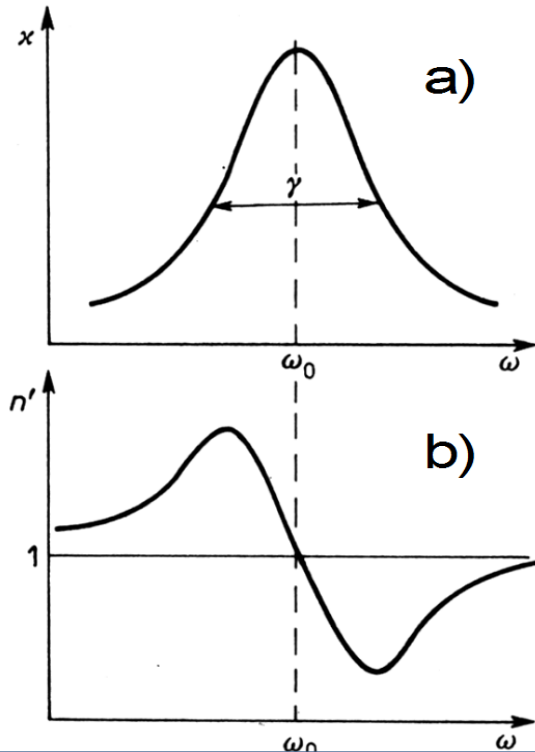
Kilka rezonansów w ośrodku:



# Klasyczny model współczynnika załamania

## Fala w ośrodku wypełnionym oscylatorami:

Kilka rezonansów w ośrodku:



$\epsilon_L$

Dla jednej częstości oscylatora  $\omega_0$   $\epsilon_L=1$ , ale dla wielu jest to w przybliżeniu stała suma wkładów od pozostałych.

# Klasyczny model współczynnika załamania

## Prawo Lamberta-Beera :

Pole elektryczne fali przechodzącej przez ośrodek:

$$\vec{E} = \vec{E}_0 \exp[i(\omega t - kn'z + ik\kappa z)] = \vec{E}_0 \exp\left(-\frac{2\pi}{\lambda} \kappa z\right) \exp[i(\omega t - kn'z)]$$

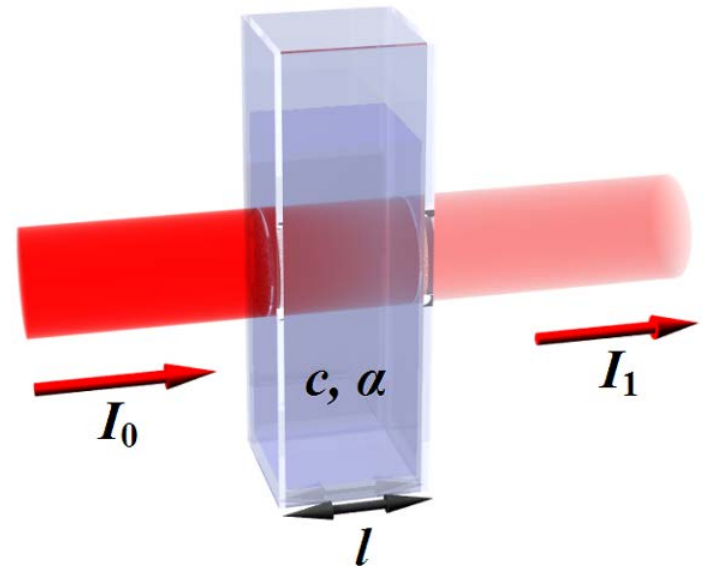
$\omega, k$  - fala w próżni

Natężenie  $I \propto |\vec{E}|^2 = E_0^2 \exp\left(-\frac{4\pi}{\lambda} \kappa z\right)$

$$I(z) = I_0 \exp(-\alpha z)$$

Współczynnik absorpcji  $\alpha = 2\kappa k_0$

$k = k_0$ , długość fali w próżni



# Klasyczny model współczynnika załamania

Fala w ośrodku wypełnionym oscylatorami (model Lorentza):

$$\frac{d^2 \vec{x}}{dt^2} + \gamma \frac{d\vec{x}}{dt} + \omega_0^2 \vec{x} = \frac{q\vec{E}}{m} e^{i\omega t}$$

Rozważamy

- przestrzeń wypełnioną oscylatorami o częstotliwości rezonansowej  $\omega_0$  i współczynniku tłumienia  $\gamma$
- oscylatory mają masę  $m$ , ładunek  $q$
- są poruszane przez oscylujące pole elektryczne  $E$ .

Rozwiązanie dla stanu ustalonego typu:

$$\vec{x} = \vec{x}_0 e^{i\omega t}$$

# Klasyczny model współczynnika załamania

**Fala w ośrodku** wypełnionym oscylatorami (model Lorentza):

$$\frac{d^2 \vec{x}}{dt^2} + \gamma \frac{d\vec{x}}{dt} + \omega_0^2 \vec{x} = \frac{q\vec{E}}{m} e^{i\omega t}$$

siła wymuszająca

siła  
harmoniczna

tłumienie

Rozważamy

- oscylatory mają masę  $m$ , ładunek  $q$
- są poruszane przez oscylujące pole elektryczne  $\vec{E}$ .

Rozwiązanie dla stanu ustalonego typu:

$$\vec{x} = \vec{x}_0 e^{i\omega t}$$

# Klasyczny model współczynnika załamania

## Fala w ośrodku (różnym):

$$\frac{d^2 \vec{x}}{dt^2} + \gamma \frac{d\vec{x}}{dt} + \omega_0^2 \vec{x} = \frac{q\vec{E}}{m} e^{i\omega t}$$

Model Lorentza

$$\frac{d^2 \vec{x}}{dt^2} + \gamma \frac{d\vec{x}}{dt} + \omega_0^2 \vec{x} = 0$$

Widmo emisji

$$\frac{d^2 \vec{x}}{dt^2} + 0 + 0 = \frac{q\vec{E}}{m} e^{i\omega t}$$

Fala w plazmie

Rozwiązanie dla stanu ustalonego typu:

$$\vec{x} = \vec{x}_0 e^{i\omega t}$$

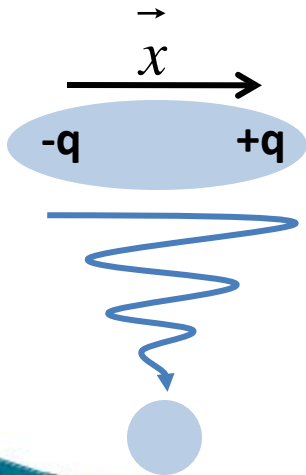
# Klasyczny model współczynnika załamania

## Np. kształt i szerokość linii emisyjnych

Przejście między dwoma poziomami układu kwantowego może być z dobrym przybliżeniem opisane za pomocą modelu oscylatora harmonicznego:

$$\frac{d^2 \vec{x}}{dt^2} + \gamma \frac{d\vec{x}}{dt} + \omega_0^2 \vec{x} = 0$$

Widmo emisji



Tym razem atomy (cząsteczki) zostały (jakoś) pobudzone do drgań i starają się powrócić do swojej równowagi tracąc energię na emisję promieniowania elektromagnetycznego („tłumienie”).

$$\vec{p}(t) = q\vec{x}(t)$$

moment dipolowy atomu (cząsteczki)

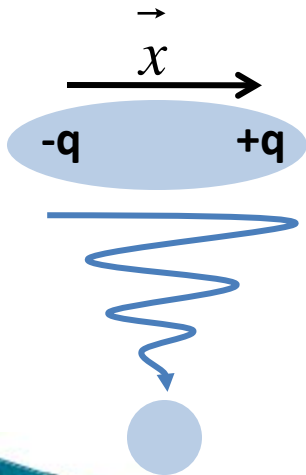
$$\vec{P}(t) = N \vec{p}(t) = Nq\vec{x}(t) = \epsilon_0 \chi \vec{E}(t)$$



# Klasyczny model współczynnika załamania

## Np. kształt i szerokość linii emisyjnych

Analiza tego „tłumienia” oscylacji daje wgląd w mikroskopowe zjawiska zachodzące podczas (i w okolicach) emisji promieniowania elektromagnetycznego! Charakter zaniku promieniowania w czasie ma wpływ na jego **widmo** (w domenie częstości).



Tym razem atomy (cząsteczki) zostały (jakoś) pobudzone do drgań i starają się powrócić do swojej równowagi tracąc energię na emisję promieniowania elektromagnetycznego („tłumienie”).

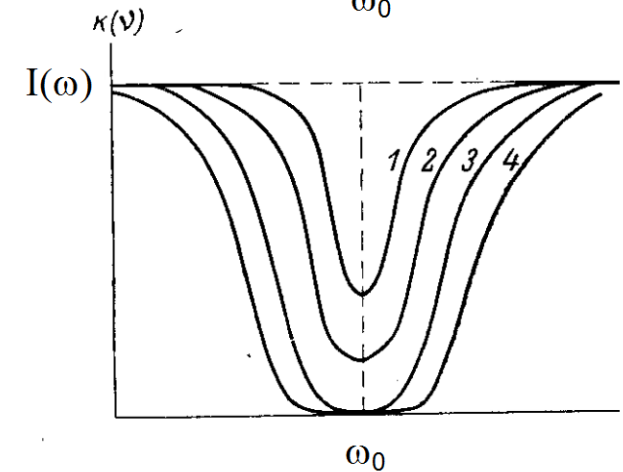
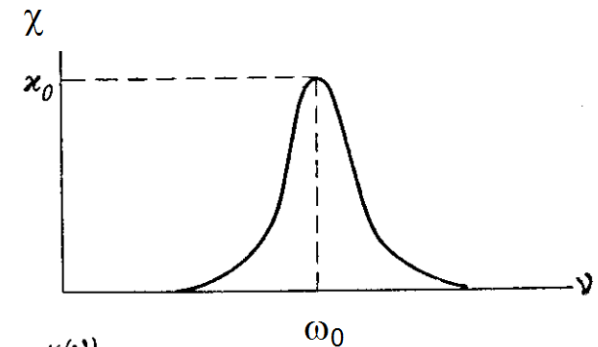
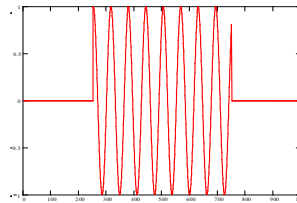
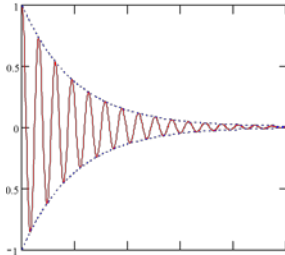
# Klasyczny model współczynnika załamania

## Np. kształt i szerokość linii emisyjnych

Widmo - transformata Fouriera:

Szerokość połówkowa linii:

- drgania tłumione (naturalna szerokość linii)
- poszerzenie ciśnieniowe
- poszerzenie dopplerowskie (profil Voigta)



Calculus and Analysis > Integral Transforms > Fourier Transforms >  
 Interactive Entries > Interactive Demonstrations >

## Fourier Transform

Note that some authors (especially physicists) prefer to write the transform in terms of angular frequency  $\omega \equiv 2\pi\nu$  instead of the oscillation frequency  $\nu$ . However, this destroys the symmetry, resulting in the transform pair

$$H(\omega) = \mathcal{F}[h(t)] \tag{7}$$

$$= \int_{-\infty}^{\infty} h(t) e^{-i\omega t} dt \tag{8}$$

$$h(t) = \mathcal{F}^{-1}[H(\omega)] \tag{9}$$

$$= \frac{1}{2\pi} \int_{-\infty}^{\infty} H(\omega) e^{i\omega t} d\omega. \tag{10}$$

To restore the symmetry of the transforms, the convention

$$g(y) = \mathcal{F}[f(t)] \tag{11}$$

$$= \frac{1}{\sqrt{2\pi}} \int_{-\infty}^{\infty} f(t) e^{-iyt} dt \tag{12}$$

$$f(t) = \mathcal{F}^{-1}[g(y)] \tag{13}$$

$$= \frac{1}{\sqrt{2\pi}} \int_{-\infty}^{\infty} g(y) e^{iyt} dy \tag{14}$$

is sometimes used (Mathews and Walker 1970, p. 102).

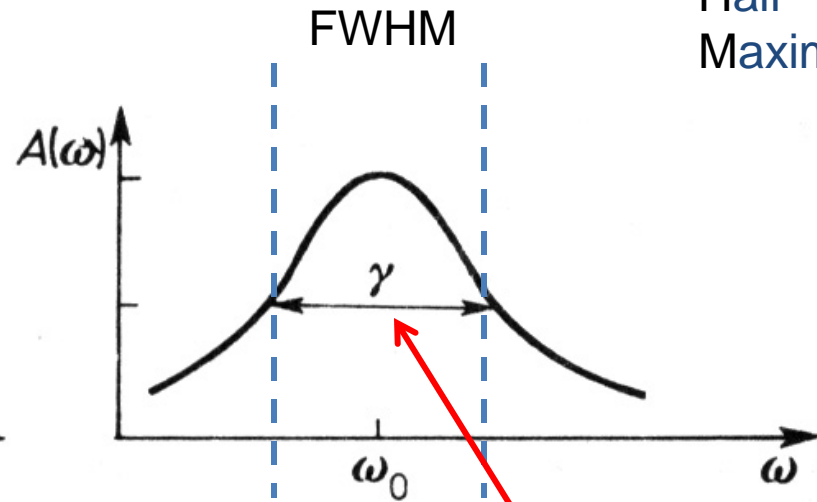
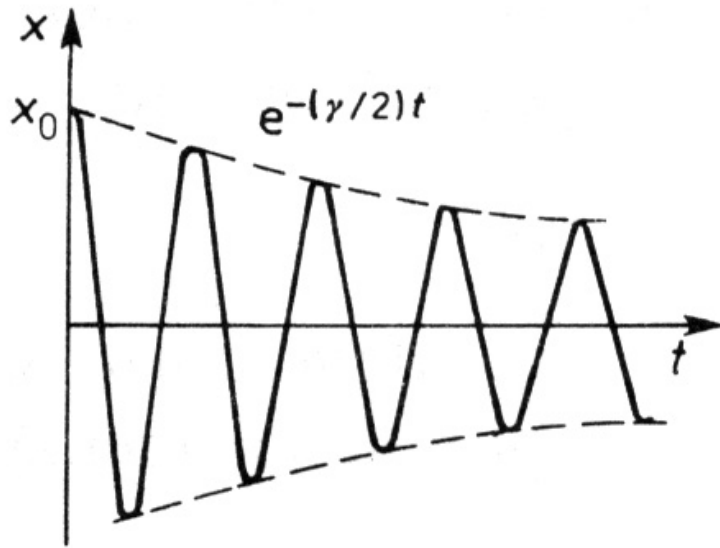
# Klasyczny model współczynnika załamania

## Np. kształt i szerokość linii emisyjnych

Widmo - transformata Fouriera:

Full  
Width  
Half  
Maximum

Szerokość połówkowa linii:



$$I(\omega) = I_0 \frac{1}{(\omega - \omega_0)^2 + (\gamma/2)^2}$$

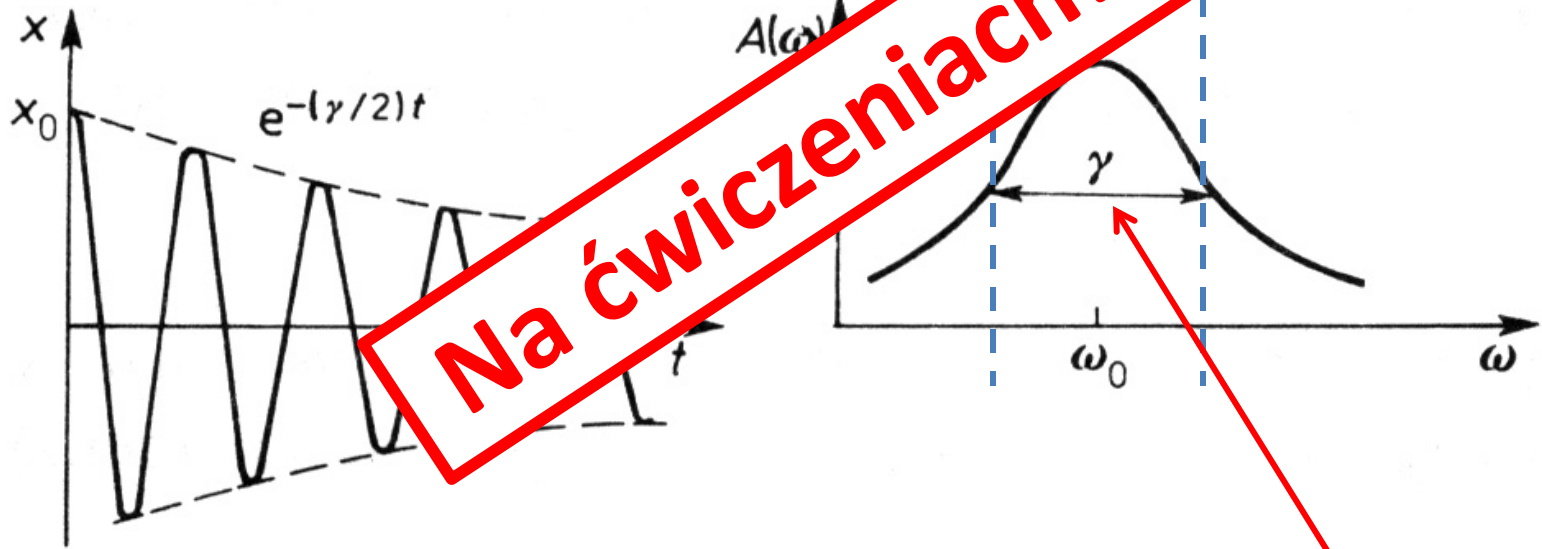
# Klasyczny model współczynnika załamania

## Np. kształt i szerokość linii emisyjnych

Widmo - transformata Fouriera:

Full  
Width  
Half  
Maximum

Szerokość połówkowa linii:



**Na ćwiczeniach!**

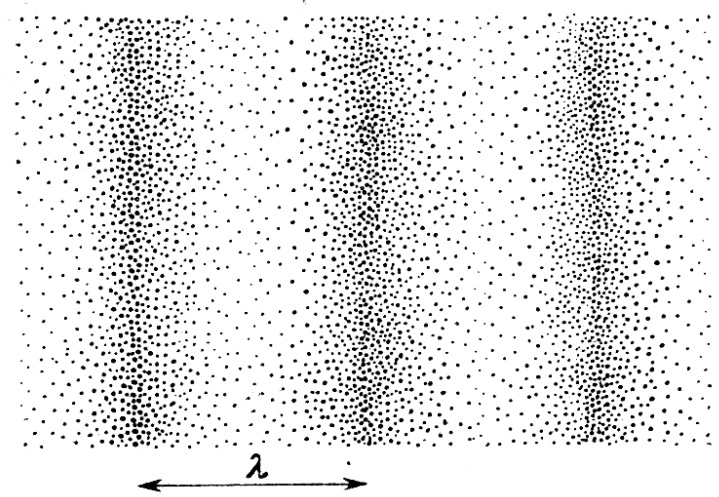
$$I(\omega) = I_0 \frac{1}{(\omega - \omega_0)^2 + (\gamma/2)^2}$$

# Klasyczny model współczynnika załamania

Np. propagacja fali w plazmie:

$$\frac{d^2 \vec{x}}{dt^2} + 0 + 0 = \frac{q\vec{E}}{m} e^{i\omega t}$$

$$\vec{j} = \sigma \vec{E} \quad \boxed{\text{swobodne ładunki}}$$



- zjonizowane gazy, (np. w lampach gazowych, w atmosferach gwiazd i jonosferach planet),
- plazma,
- plazma w ciele stałym - czyli gaz swobodnych nośników znajdujący się w metalach lub półprzewodnikach,
- ciecze - jak elektrolity czy roztopione przewodniki.

Rozwiązanie dla stanu ustalonego:

$$\vec{x} = \vec{x}_0 e^{i\omega t}$$

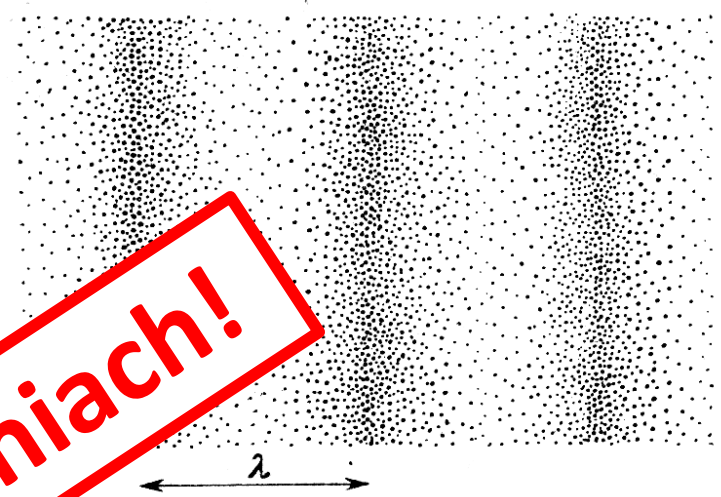
# Klasyczny model współczynnika załamania

Np. propagacja fali w plazmie:

$$\frac{d^2 \vec{x}}{dt^2} + 0 + 0 = \frac{q\vec{E}}{m} e^{i\omega t}$$

$$\vec{j} = \sigma \vec{E}$$

swobodne ładunki



**Na ćwiczeniach!**

- zjonizowane gazy, (np. w lampach, atmosferach gwiazd i jonosferach planet),
- plazma,
- plazma w ciele stałym - cz. swobodnych nośników znajdujący się w metalach lub półprzewodnikach,
- ciecze - jak elektrolity czy roztopione przewodniki.

Rozwiązanie dla stanu ustalonego:

$$\vec{x} = \vec{x}_0 e^{i\omega t}$$

# Klasyczny model współczynnika załamania

## Kształt linii absorpcyjnej

Prawo Lamberta-Beera:  $I(z, \omega) = I_0(\omega) \exp[-\alpha(\omega)z]$

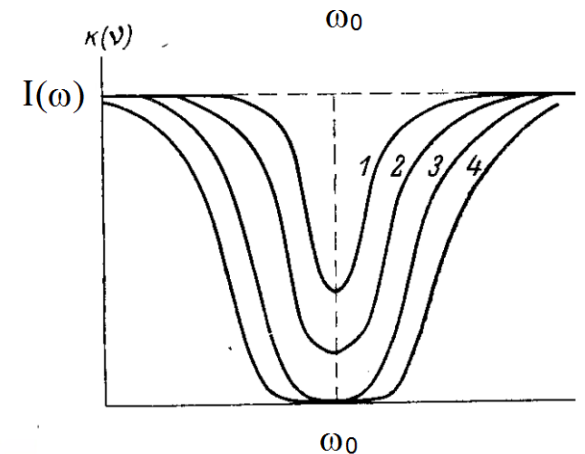
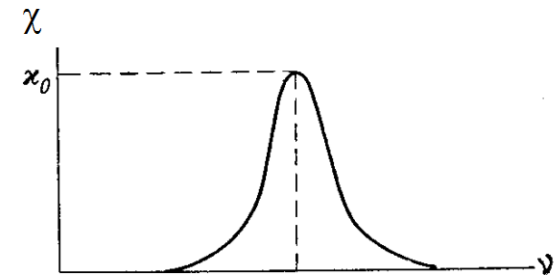
gdzie absorbanca  $\alpha(\omega) = 2\kappa(\omega)k(\omega)$

a **współczynnik absorpcji** (w przypadku kształtu lorencowskiego):

$$\kappa(\omega) = \frac{Nq^2}{2\varepsilon_0 m} \frac{\gamma\omega}{(\omega_0^2 - \omega^2)^2 + \gamma^2\omega^2}$$

Gdy jesteśmy blisko rezonansu, gdy  $\omega \approx \omega_0$ , współczynnik absorpcji upraszcza się do postaci opisywanej kształtem Lorentza.

$$\kappa(\omega) = \frac{Nq^2}{8\varepsilon_0 m\omega_0} \frac{\gamma}{(\omega_0 - \omega)^2 + (\gamma/2)^2}$$





# Klasyczny model współczynnika załamania

## Efekt Dopplera

Relatywistyczny efekt Dopplera (dla światła):

$$\nu_{\text{obserw.}} = \nu_{\text{źródła}} \sqrt{\frac{1 + v/c}{1 - v/c}} \approx \nu_{\text{źródła}} (1 + v/c)$$

$v > 0$  gdy źródło się zbliża.

# Klasyczny model współczynnika załamania

## Efekt Dopplera



# Klasyczny model współczynnika załamania

## Efekt Dopplera

Wolszczan, A., & Frail, D. A. "A Planetary System around the Millisecond Pulsar PSR 1257+12" 1992, *Nature*, 355, 145.

**A planetary system around the millisecond pulsar PSR 1257+12**

**A. Wolszczan\* & D. A. Frail†**

\* National Astronomy and Ionosphere Center, Arecibo, Puerto Rico 00613, USA

† National Radio Astronomy Observatory, Socorro, New Mexico 87849, USA

**To nie jest Doppler**

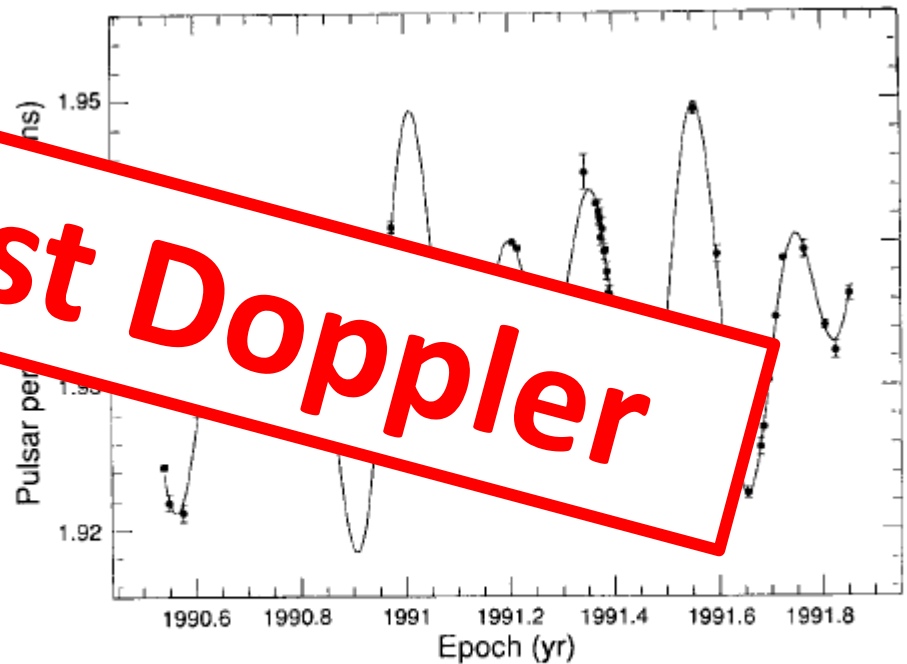


FIG. 3 Period variations of PSR1257 +12. Each period measurement is based on observations made on at least two consecutive days. The solid line denotes changes in period predicted by a two-planet model of the 1257 +12 system.

# Klasyczny model współczynnika załamania

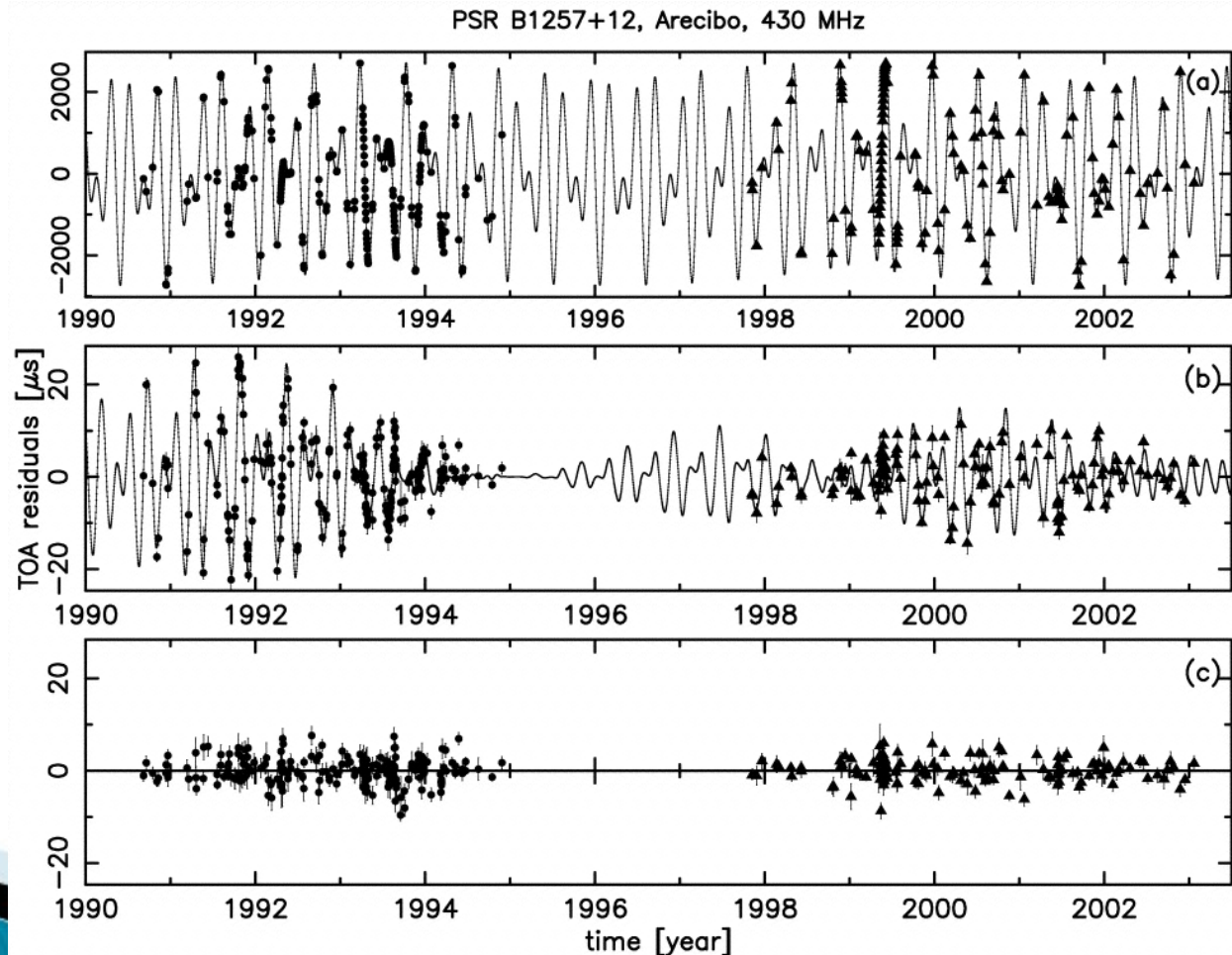
## Efekt Dopplera

Masses and Orbital Inclinations of Planets in the PSR B1257+12 System

Maciej Konacki and **Alex Wolszczan**

The Astrophysical Journal, 591:L147-L150, 2003 July 10

Best-fit daily averaged  
time-of-arrival residuals  
for three timing models  
of PSR B1257+12  
observed at 430 MHz.

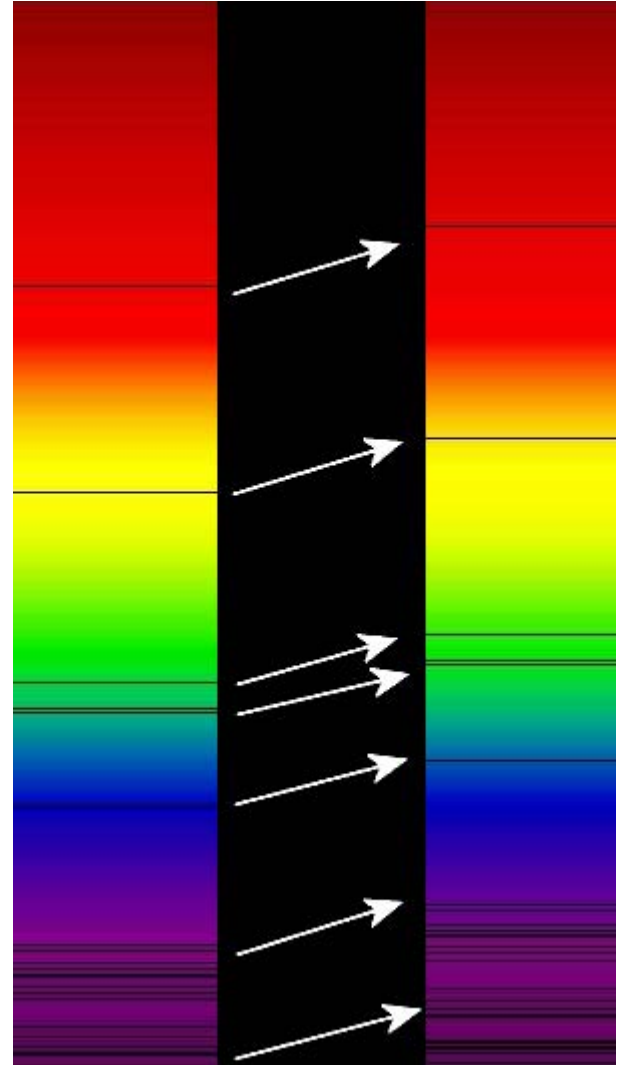


# Klasyczny model współczynnika załamania

## Efekt Dopplera

Przesunięcie ku czerwieni linii spektralnych w zakresie światła widzialnego supergromady odległych galaktyk (po prawej) w porównaniu do Słońca (po lewej)

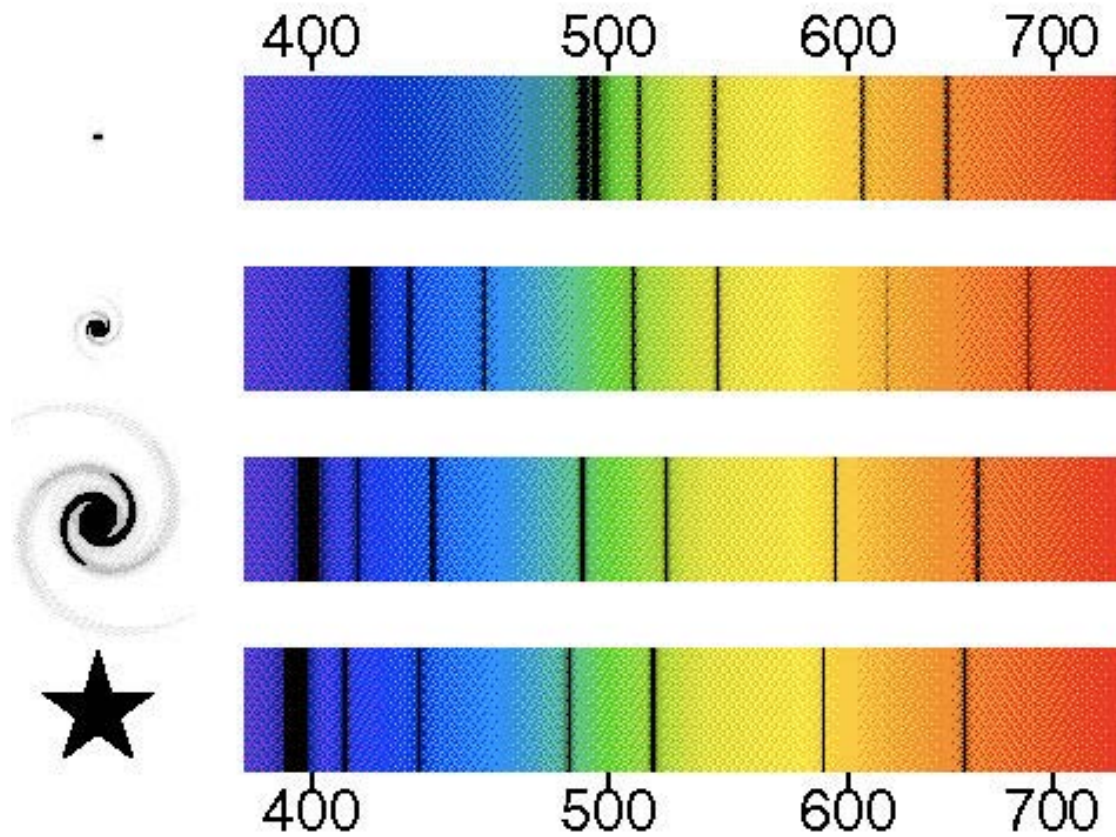
*Wikipedia*





# Klasyczny model współczynnika załamania

## Kształt linii absorpcyjnej



# Klasyczny model współczynnika załamania

## Poszerzenie dopplerowskie

Na skutek **efektu Dopplera** poruszający się obiekt absorbuje lub promieniuje falę o częstotliwości przesuniętej względem częstotliwości własnej obiektu spoczywającego:

$$\omega_A = \omega_0(1 + V_Z/c)$$

$V_Z$  jest składową prędkości wzdłuż kierunku rozchodzenia się promieniowania

W temperaturze  $T$  zależność między liczbą cząstek o masie  $m$  a prędkością  $V_Z$  jest opisywana przez rozkład Maxwella :

$$n_i(V_Z)dV_Z = \frac{N_i}{V_p \sqrt{\pi}} \exp\left[-(V_Z/V_p)^2\right] dV_Z$$

Ten opis jest słuszny dla układu w równowadze termodynamicznej. W przypadku gdy rozkład prędkości nie jest termiczny (np. w wiązkach atomowych) należy zastosować inną funkcję, właściwą dla danego układu

$$V_p = \sqrt{\frac{2kT}{m}}$$

# Klasyczny model współczynnika załamania

## Poszerzenie dopplerowskie

Po podstawieniu poprzedniego równania otrzymujemy rozkład liczby cząstek promieniujących z daną częstotliwością  $\omega$ :

$$n_i(\omega)d\omega = \frac{N_i c / \omega_0}{V_p \sqrt{\pi}} e^{-[(c/V_p)(\omega_0 - \omega')/\omega_0]^2} d\omega$$

Ponieważ natężenie promieniowania jest proporcjonalne do ilości promieniujących cząstek, mamy **gaussowski kształt linii spektralnej**. Po unormowaniu powyższej funkcji :

$$I(\omega) = I_0 \exp\left[-\left(\frac{c(\omega - \omega_0)}{\omega_0 V_p}\right)^2\right]$$

Szerokość linii dopplerowskiej wynosi

$$\delta\omega_D = 2\sqrt{\ln 2}\omega_0 \frac{V_p}{c} = \frac{\omega_0}{c} \sqrt{\frac{8kT \ln 2}{m}}$$

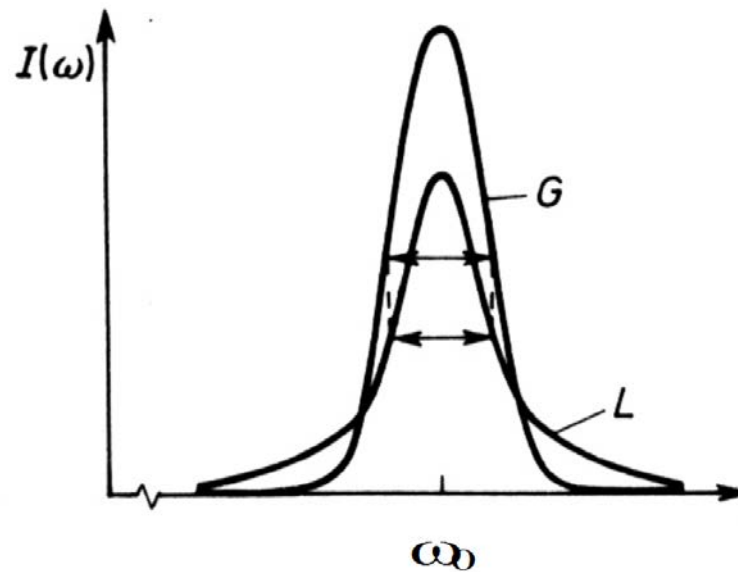


# Klasyczny model współczynnika załamania

## Poszerzenie dopplerowskie

W gazach atomowych i molekularnych:

- naturalne szerokości linii wynoszą od kilku do kilkunastu megaherców,
- na skutek ruchów cieplnych cząstek linie te ulegają poszerzeniu kilkadziesiąt do kilkuset razy.



# Klasyczny model współczynnika załamania

## Poszerzenie dopplerowskie

Kształt linii dopplerowskiej jest gaussowski tylko przy założeniu, że naturalna szerokość linii jest bardzo mała (ściślej, że jest detlą Diraca).

Jeśli weźmiemy pod uwagę szerokość naturalną linii widmowej (np. w bardzo chłodnych gazach) otrzymamy **profil Voigta**.



# Klasyczny model współczynnika załamania

## Profil Voigta

Rozważmy układ oscylatorów tłumionych.

- każdy z nich charakteryzuje się widmem Lorentza, którego szerokość nie może być zaniedbana.
- na skutek ruchu cieplnego i efektu Dopplera częstość centralna  $\omega_0$  każdego oscylatora ulega przesunięciu do wartości  $\omega_0'$ .

Wypadkowe natężenie promieniowania jest sumą natężeń pochodzących od poszczególnych oscylatorów:

$$I(\omega) = \sum_i I_{0i} \frac{1}{(\omega - \omega_{0i})^2 + (\gamma/2)^2}$$

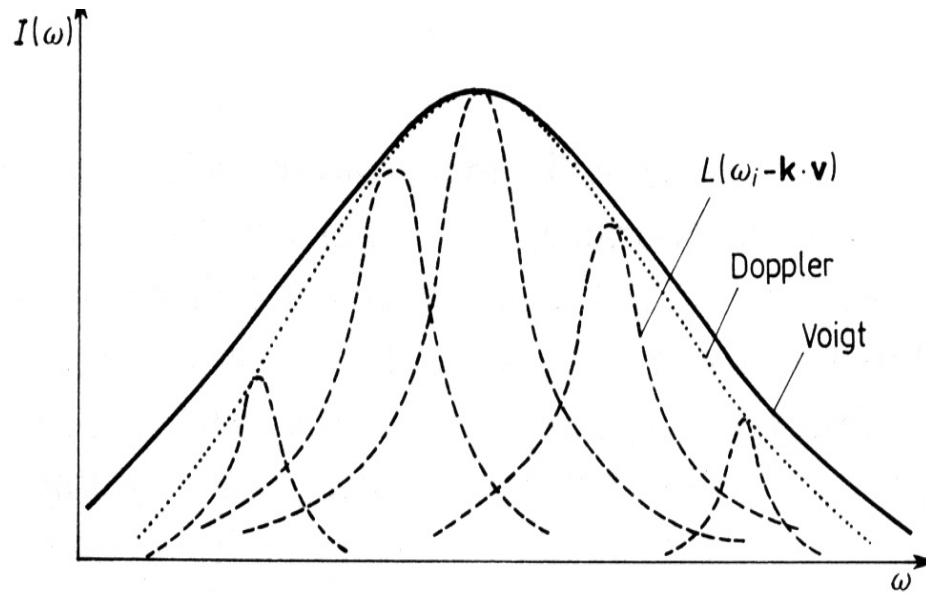
która w przypadku ciągłego, maxwellowskiego rozkładu prędkości przechodzi w całkę, dając splot funkcji Gaussa i Lorentza

$$I(\omega) = C \int_0^{\infty} \frac{e^{-[(c/V_p)(\omega_0 - \omega')/\omega_0]^2}}{(\omega - \omega')^2 + (\gamma/2)^2} d\omega'$$

$$C = \frac{\gamma N_i c}{2V_p \pi^{3/2} \omega_0}$$

# Klasyczny model współczynnika załamania

## Profil Voigta



# Klasyczny model współczynnika załamania

## Zjawisko Mossbauera



The Nobel Prize in Physics 1961

"for his researches concerning the resonance absorption of gamma radiation and his discovery in this connection of the effect which bears his name"



Rudolf Ludwig Mössbauer  
ur. 1929

# Klasyczny model współczynnika załamania

## Zjawisko Mossbauera



The Nobel Prize in Physics 1961

“Explain it! The most important thing is, that you are able to explain it! You will have exams, there you have to explain it. Eventually, you pass them, you get your diploma and you think, that's it! – No, the whole life is an exam, you'll have to write applications, you'll have to discuss with peers... So learn to explain it! You can train this by explaining to another student, a colleague. If they are not available, explain it to your mother – or to your cat!”

Za Wikipedią



Rudolf Ludwig Mössbauer  
ur. 1929

# Klasyczny model współczynnika załamania

## Zjawisko Mossbauera

Jądro (a więc cały atom) emitując fotony o energii  $E$  doznaje pewnego odrzutu. Jego energię można wyznaczyć z prawa zachowania pędu:

$$E_R = \frac{p^2}{2M} = \frac{E_\gamma^2}{2Mc^2}$$

Diagram illustrating the derivation of the recoil energy  $E_R$ . The equation  $E_R = \frac{p^2}{2M} = \frac{E_\gamma^2}{2Mc^2}$  is shown. A blue box highlights the equation  $E_\gamma = pc$  above the second term of the equation. A blue arrow points from the text "odrzut atomu" (recoil of the atom) to the  $p^2$  term in the first fraction. Another blue arrow points from the text "masa atomu" (mass of the atom) to the  $2M$  term in the denominator of the first fraction. A third blue arrow points from the boxed equation  $E_\gamma = pc$  down to the  $E_\gamma^2$  term in the second fraction.

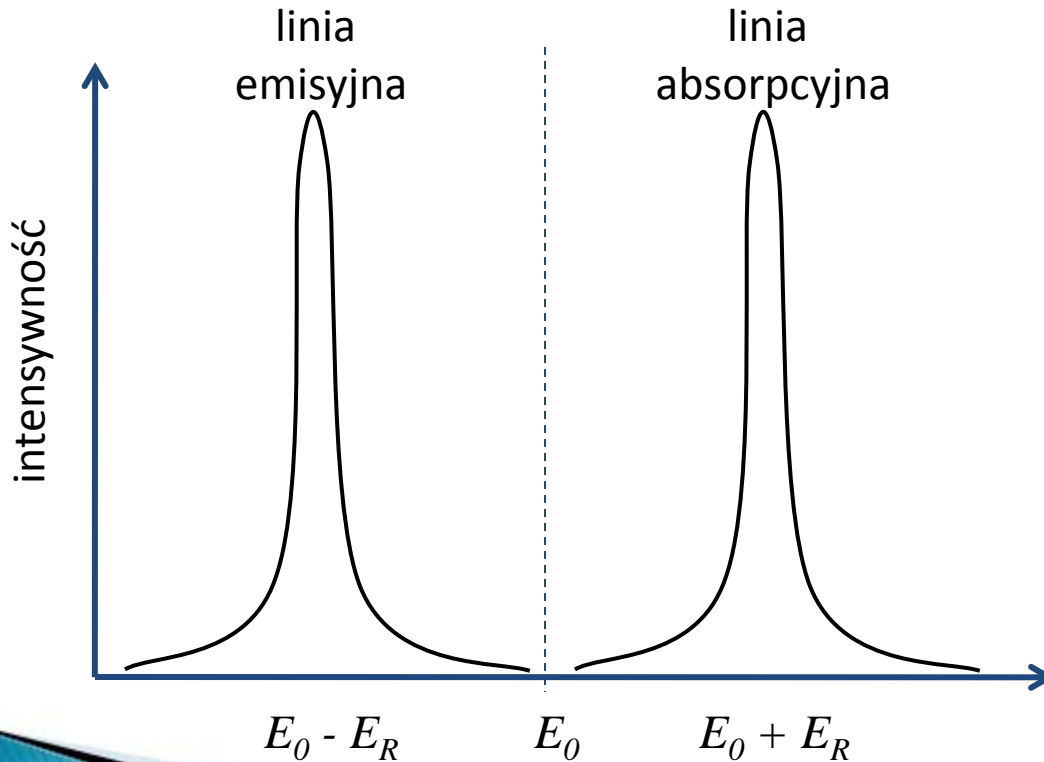
Zgodnie z zasadą zachowania energii emitowany foton ma energię mniejszą o  $E_R$  od energii wzbudzenia jądra  $E_0$ , gdyż ta część energii zostaje zużyta na odrzut. Z kolei w trakcie absorpcji jądro pochłania foton, czego skutkiem jest również odrzut. Wynika stąd, iż niedopasowanie energetyczne między fotonami emitowanymi a absorbowanymi wynosi  $2E_R$

# Klasyczny model współczynnika załamania

## Zjawisko Mossbauera



The Nobel Prize in Physics 1961

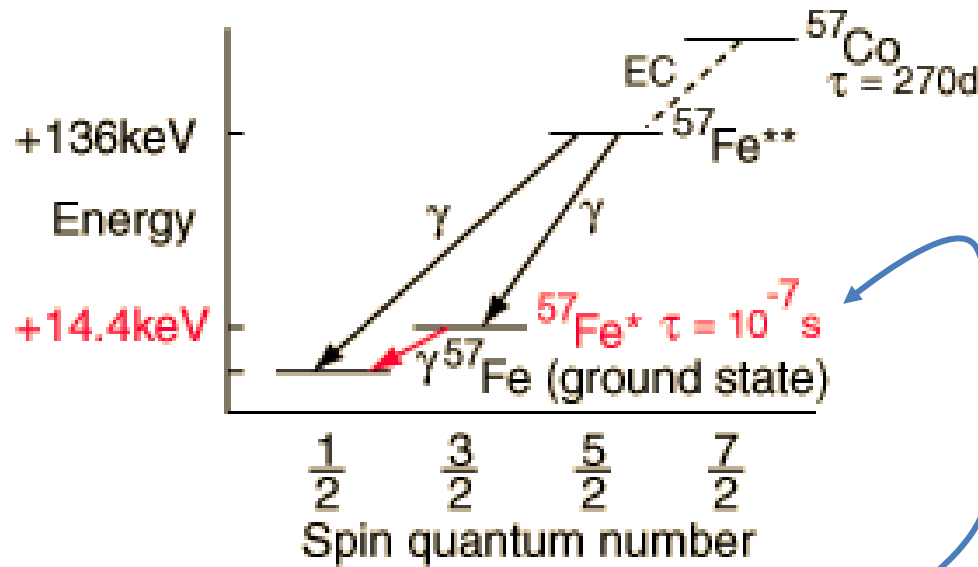


Rudolf Ludwig Mössbauer  
ur. 1929



# Klasyczny model współczynnika załamania

## Zjawisko Mossbauera



$$E_0 \approx 14,4 \text{ keV}$$

$$\tau \approx 10^{-7} \text{ s}$$

$$\Gamma = \frac{\hbar}{\tau} \approx 10^{-8} \text{ eV}$$

$$\frac{\Gamma}{E_0} \approx 10^{-12}$$

To przejście jest odpowiednio wąskie (czyli długożyciowe)

$$E_R = \frac{p^2}{2M} = \frac{E_\gamma^2}{2Mc^2} \approx 0,002 \text{ eV}$$

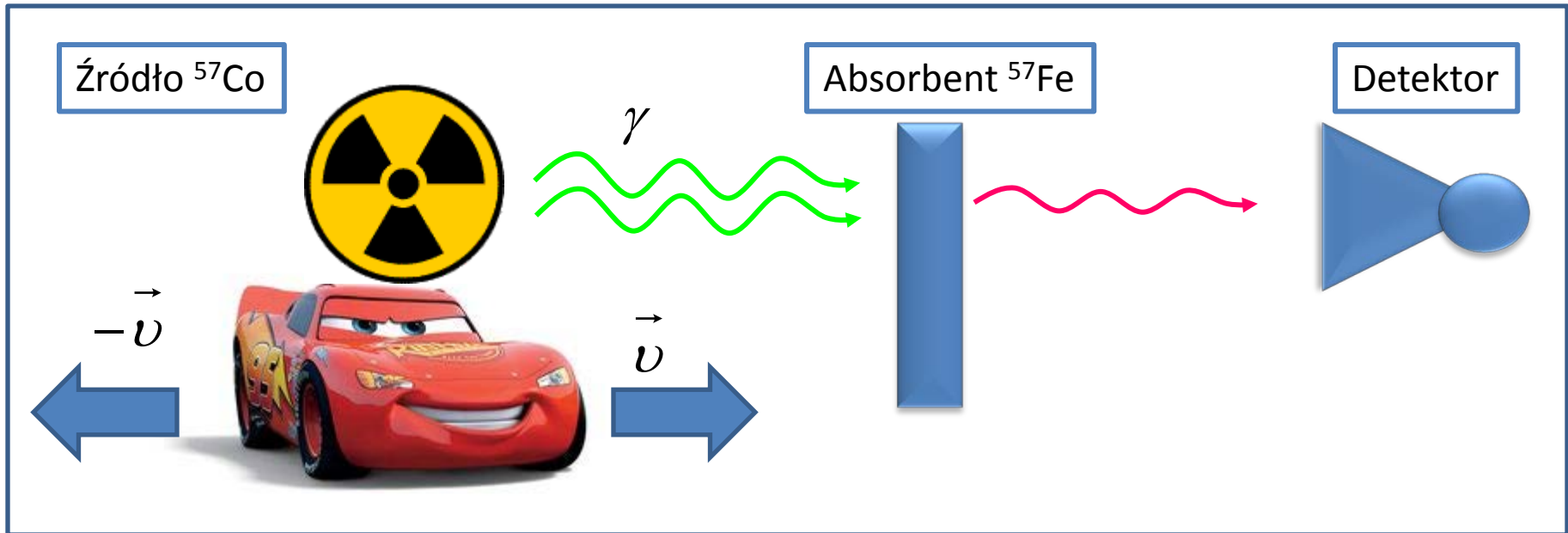
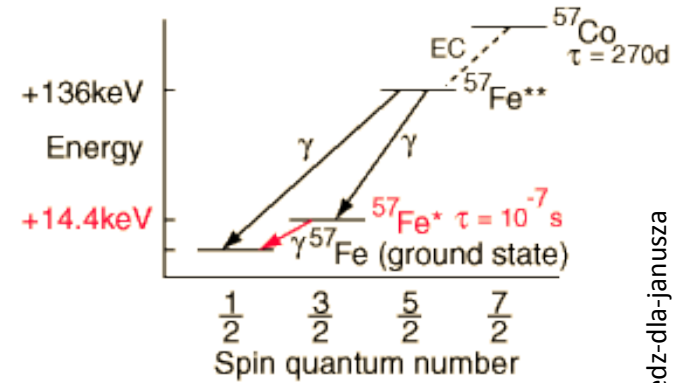
ALE: w przypadku kryształu pęd przejmuje CAŁA sieć, więc można przyjąć, że absorpcja jest bezdrzutowa

# Klasyczny model współczynnika załamania

## Zjawisko Mossbauera

Efekt Doplera:

$$\Delta \nu = \nu_{\text{obserw.}} - \nu_{\text{źródła}} \approx \nu / c$$



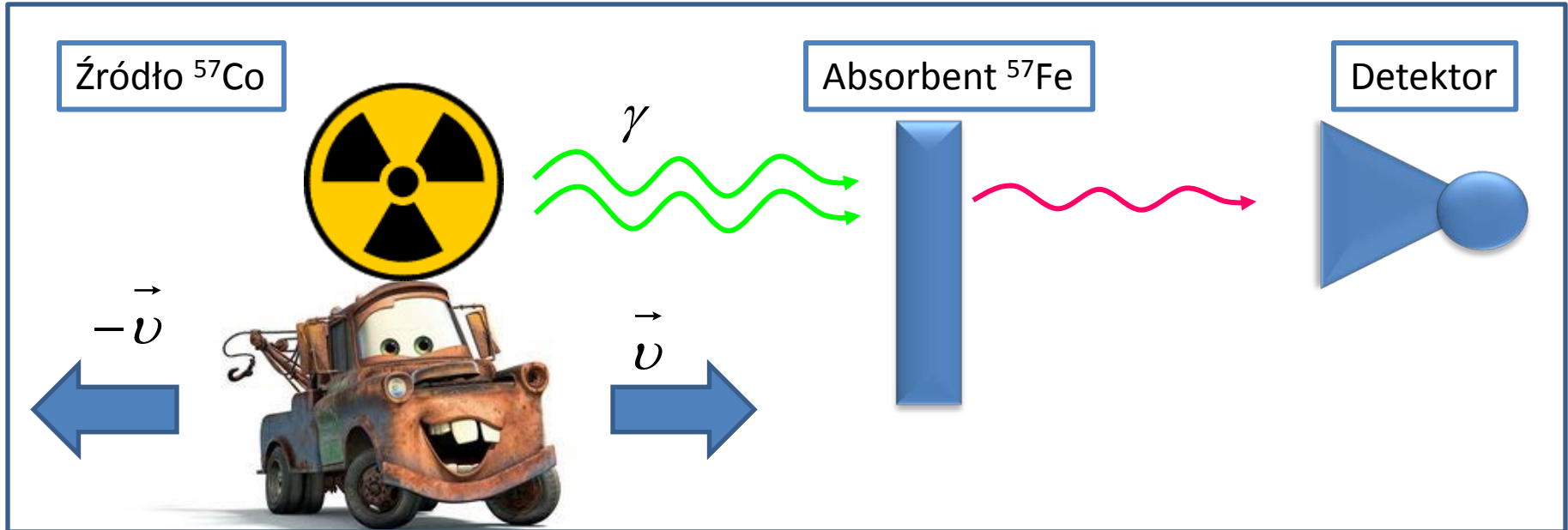
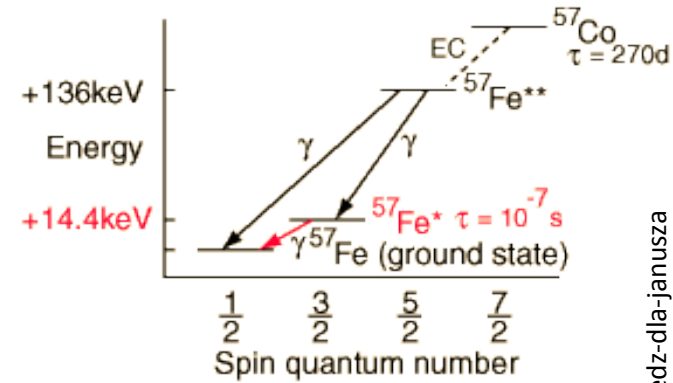
# Klasyczny model współczynnika załamania

## Zjawisko Mossbauera

Efekt Doplera:

2 mm/s !

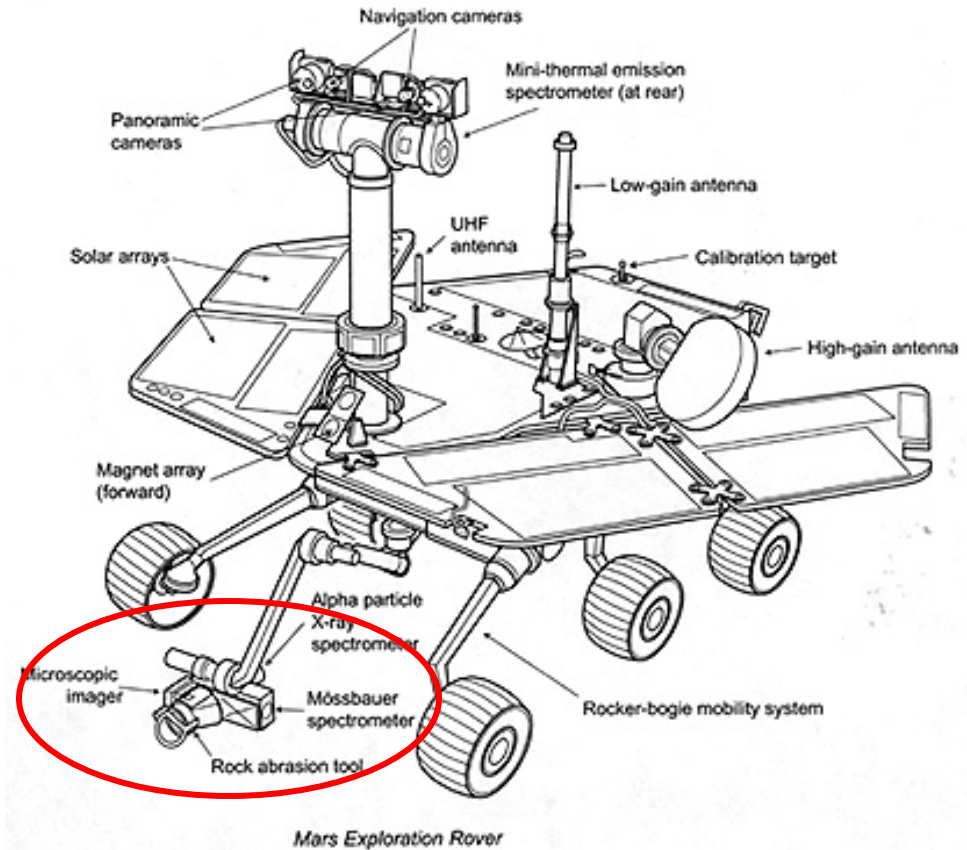
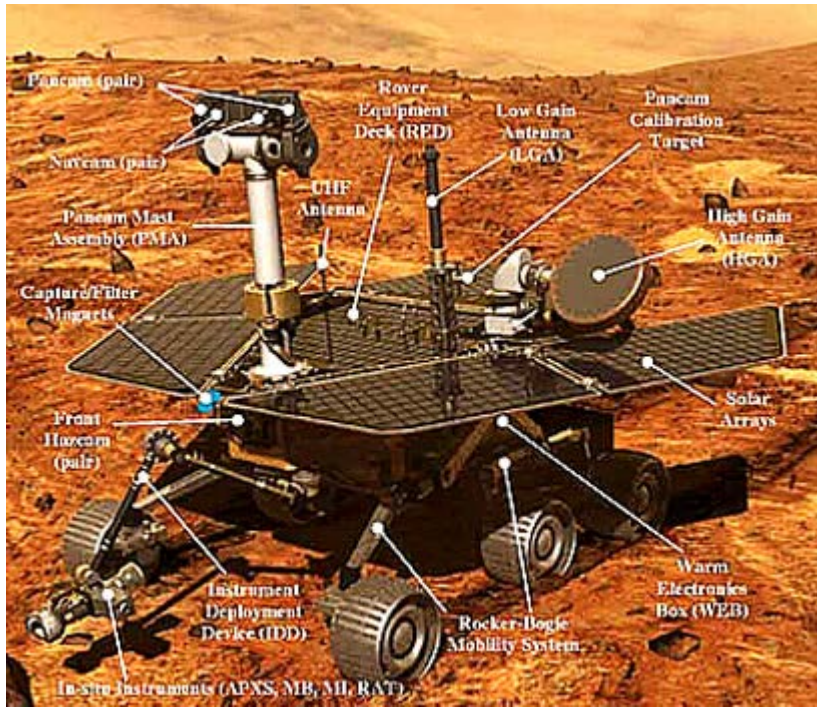
$$\Delta \nu = \nu_{\text{obserw.}} - \nu_{\text{źródła}} \approx \nu / c \approx 6,67 \times 10^{-12}$$



# Klasyczny model współczynnika załamania

## Zjawisko Mossbauera

Spitit i Opportunity



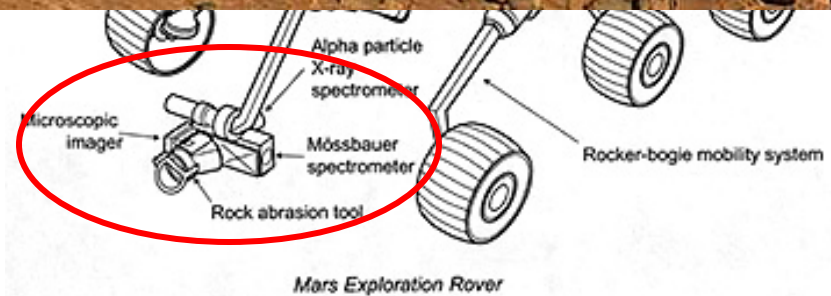
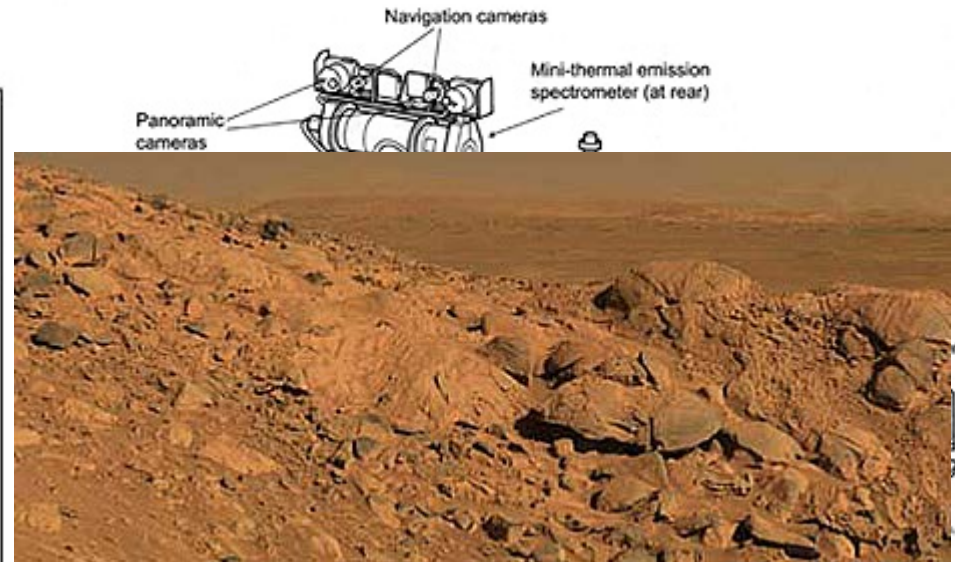
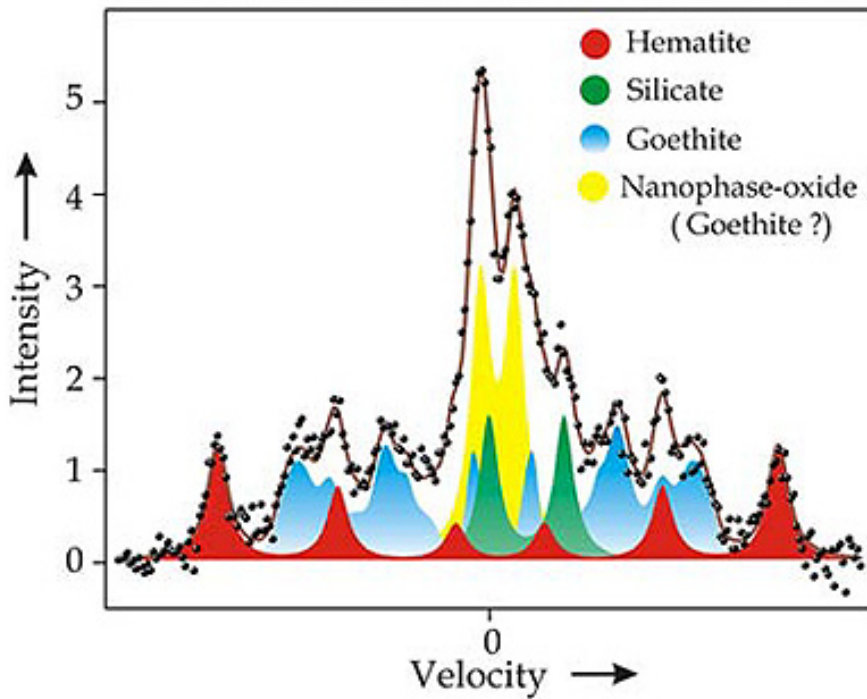


# Klasyczny model współczynnika załamania

## Zjawisko Mossbauera

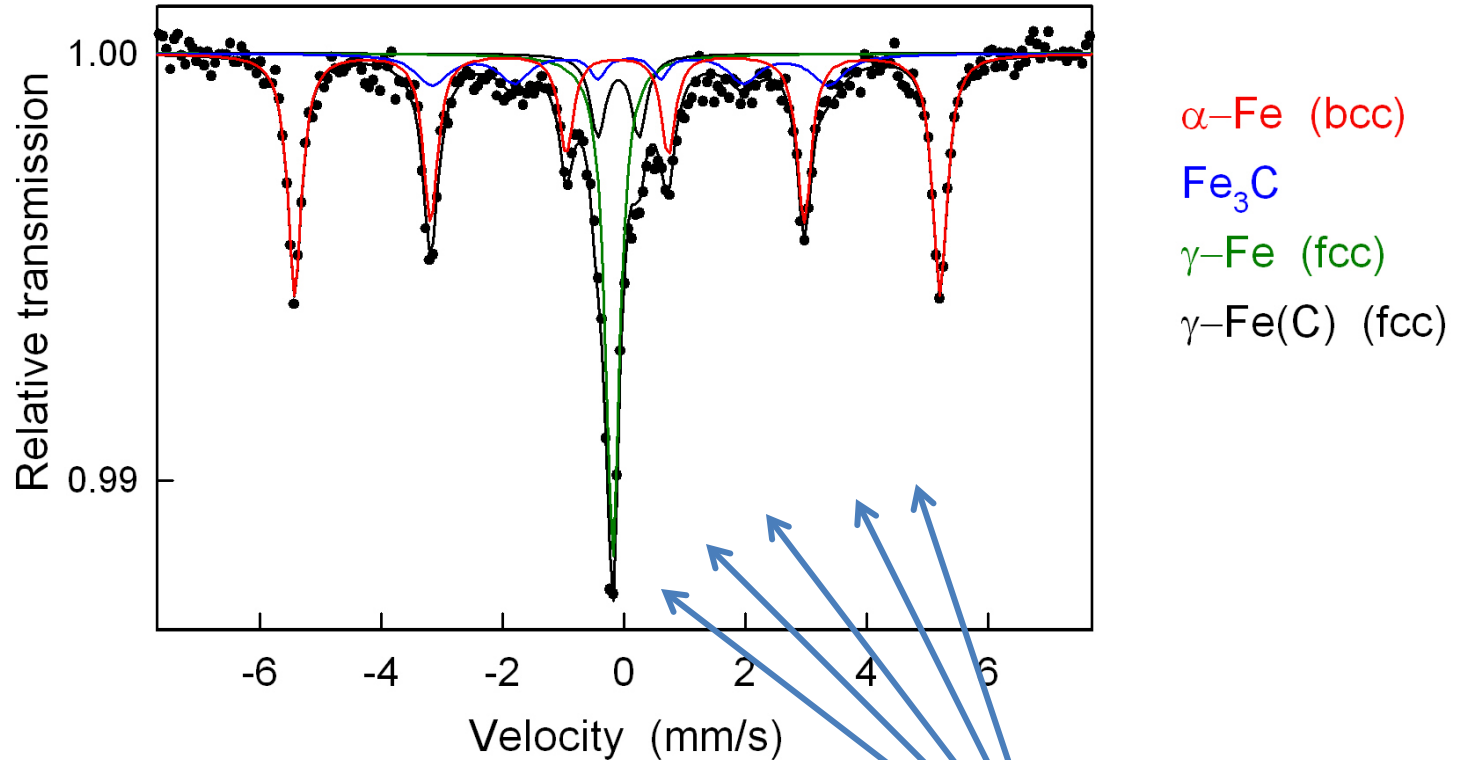
Spitit i Opportunity

Mössbauer Spectrum of Clovis (200 - 220K)



# Klasyczny model współczynnika załamania

## Zjawisko Mossbauera

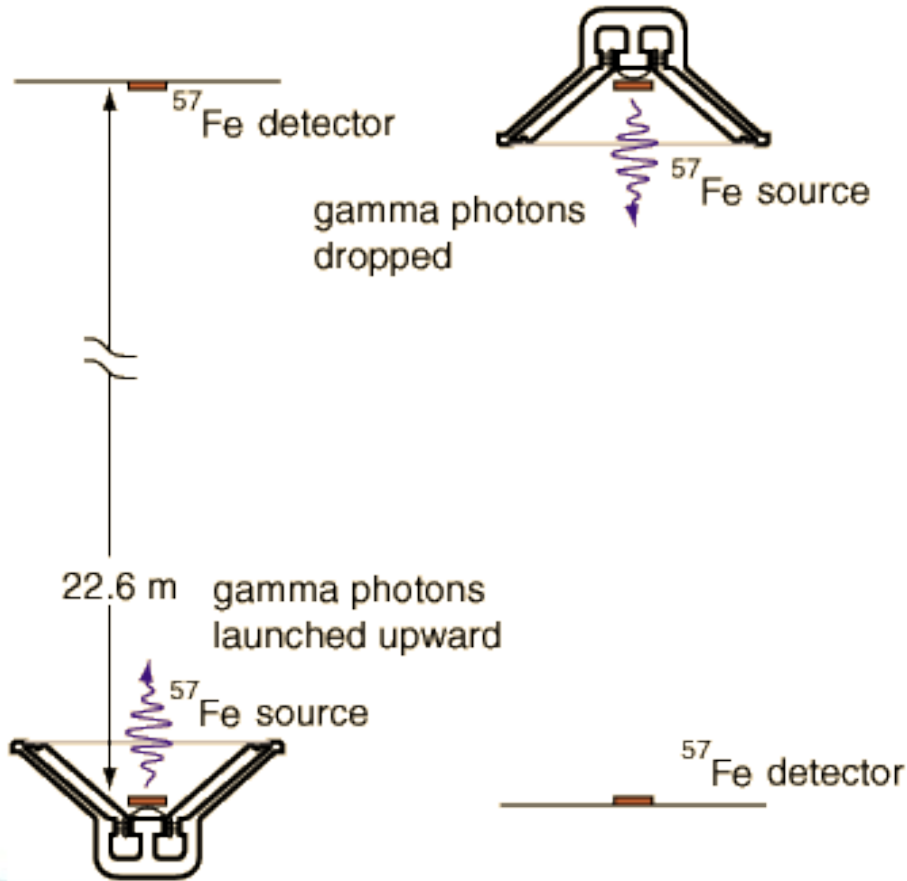


Rozszczepienie poziomów energetycznych jądra  $^{57}\text{Fe}$  na skutek efektu Zeemana.

# Klasyczny model współczynnika załamania

## Zjawisko Mossbauera

Test Ogólnej Teorii Względności „Harvard Tower Experiment”



OTW - 1916

[http://prl.aps.org/abstract/PRL/v3/i9/p439\\_1](http://prl.aps.org/abstract/PRL/v3/i9/p439_1)

# Klasyczny model współczynnika załamania

## Zjawisko Mossbauera

[http://prl.aps.org/abstract/PRL/v3/i9/p439\\_1](http://prl.aps.org/abstract/PRL/v3/i9/p439_1)

$$v_{\text{obserw.}} = v_{\text{źródła}} \left[ 1 + \frac{gh}{c^2} \right]$$

Przesunięcie ku czerwieni spowodowane polem grawitacyjnym Ziemi (Ogólna Teoria Względności)

$$\Delta v / v \approx 4,92 \times 10^{-15}$$

$$\Delta E = mgh = \frac{E}{c^2} gh = \frac{14,4\text{keV}}{c^2} g \times 22,6\text{m} \approx 3,5 \times 10^{-11} \text{eV}$$

Zysk energii „spadającego” fotonu

$$\left( \frac{\Delta E}{E} \right)_{\text{down}} - \left( \frac{\Delta E}{E} \right)_{\text{up}} = \frac{2(3,5 \times 10^{-11} \text{eV})}{14,4\text{keV}} = 4,9 \times 10^{-15}$$

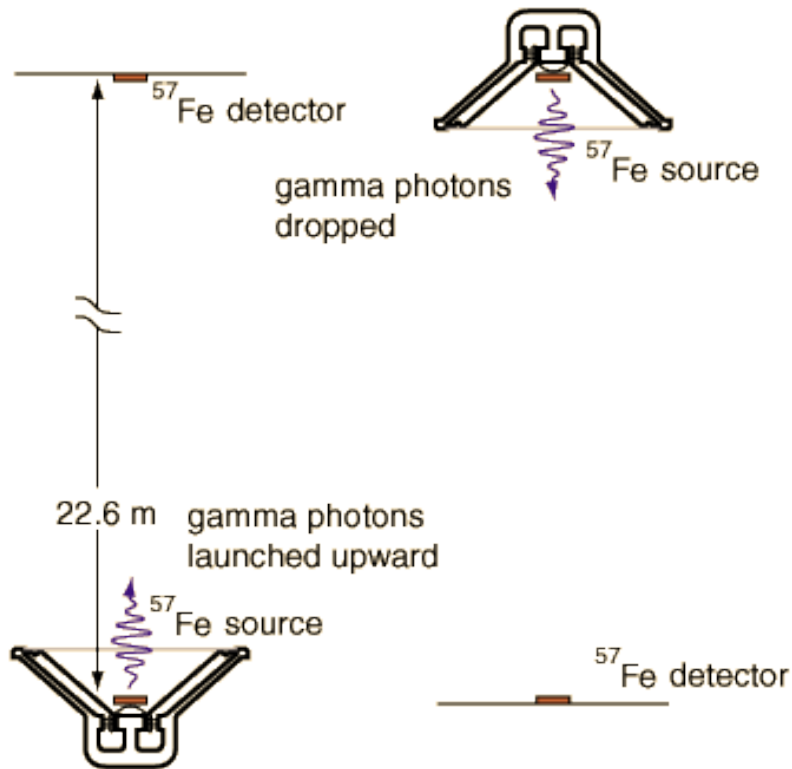
$$\left( \frac{\Delta E}{E} \right)_{\text{down}} - \left( \frac{\Delta E}{E} \right)_{\text{up}} = (5,1 \pm 0,5) \times 10^{-15}$$

Wynik pomiaru



# Klasyczny model współczynnika załamania

## Zjawisko Mossbauera



**Robert Pound**, stationed at the top of a tower in a Harvard physics building (top), communicated by phone with **Glen Rebka** in the basement during calibrations for their experiment. The team verified Einstein's prediction that gravity can change light's frequency.

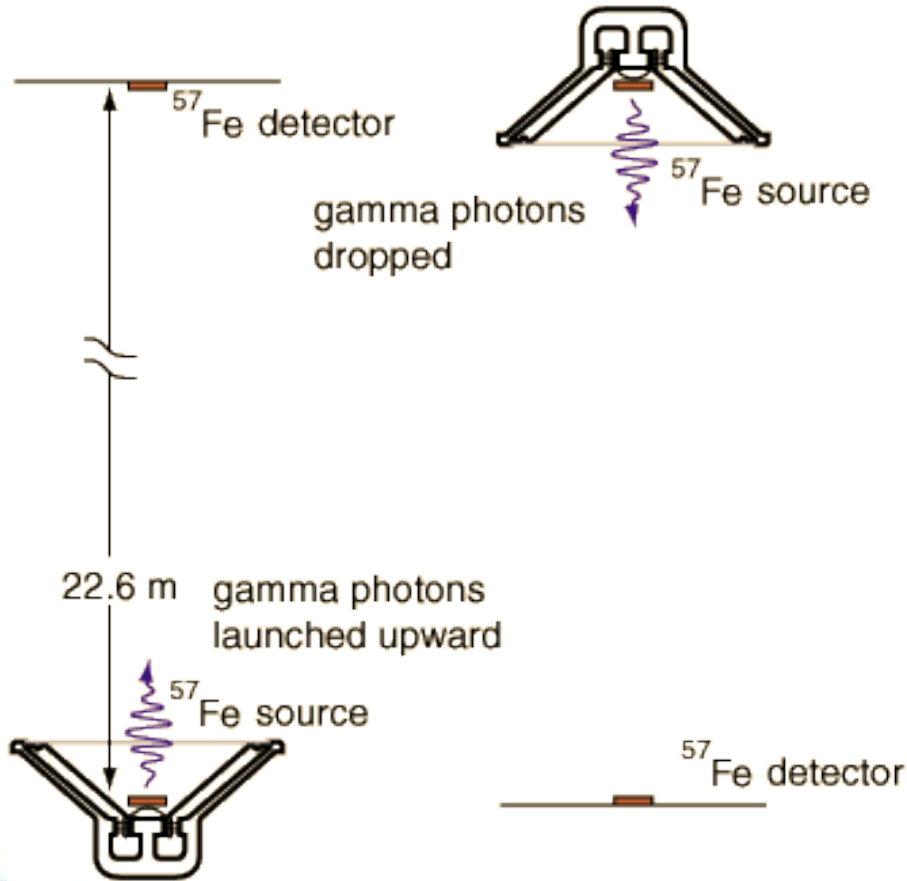


1960

# Klasyczny model współczynnika załamania

## Zjawisko Mossbauera

Test Ogólnej Teorii Względności „Harvard Tower Experiment”



OTW - 1916

[http://prl.aps.org/abstract/PRL/v3/i9/p439\\_1](http://prl.aps.org/abstract/PRL/v3/i9/p439_1)